

GuD GEOTECHNIK und DYNAMIK CONSULT GmbH Darwinstraße 13 · 10589 Berlin

GUD GEOTECHNIK und



DYNAMIK CONSULT GmbH

BERATENDE INGENIEURE Öffentlich bestellte und vereidigte Sachverständige und Prüfsachverständige für Erd- und Grundbau

Darwinstraße 13 • 10589 Berlin Tel.: (030) 78 90 89-0 Fax: (030) 78 90 89-89 e-mail: office@gudconsult.de www.qudconsult.de

Ingenieurleistungen im Bauwesen und der Geotechnik

29.04.2014

WSISa

Verflüssigungsnachweis nach KTA 2201.2 und NCEER-Workshop 1996/1998 für das Gebäude 12.6 mit AVR-Behälterlager der Forschungszentrum Jülich GmbH

Gutachterliche Kurzstellungnahme —

Zum Nachweis der potentiellen Bodenverflüssigung im Lastfall Erdbeben nach dem in KTA 2201.2 /1/ gegebenen Nachweisverfahren unter dem Gebäude 12.6 mit AVR-Behälterlager auf dem Gelände des FZ Jülich wurden Anfang 2013 erste Untersuchungen durchgeführt. Grundlage dieser Untersuchung waren Erkundungsbohrungen und Sondierungen, die nicht am Gebäude 12.6 selbst, sondern in dessen näherer Umgebung durchgeführt wurden. Die Untersuchungen konnten eine Bodenverflüssigung nicht sicher ausschließen.

Für eine genauere Beurteilung der Bodenverflüssigungsgefahr am Standort des Gebäudes 12.6 mit AVR-Behälterlager wurde deshalb in Abstimmung mit der Genehmigungsbehörde BfS im Herbst und Winter 2013/2014 ein umfangreiches Bohr- und Erkundungsprogramm mit Niederbringung von 4 tiefen Erkundungsbohrungen und 15 Drucksondierungen in unmittelbarer Nähe zum Gebäude 12.6 durchgeführt, um den Untergrund bis in eine Tiefe von 50 m zu erkunden und die Parameter für die nach KTA 2201 erforderlichen Erdbebennachweise standortbezogen zu identifizieren.

Prof. Dr.-Ing. Kurt-M. Borchert ^{1)2|5)} • Dipl.-Ing. Hans L. Hebener ¹⁾³⁾ • Dr. rer. nat. Götz Hirschberg • Dr.-Ing. Fabian Kirsch Dr.-Ing. Jens Mittag ¹⁾ • Prof. Dr.-Ing. Thomas Richter ¹⁾⁴⁾ • Univ. Prof. Dr.-Ing. Stavros Savidis ¹⁾ • Dipl.-Ing. Univ. Nikolaus Schneider Geschäffsleitung Dr.-Ing. Fabian Kirsch¹⁾ Dipl.-Ing. Kerstin Deterding⁵⁾ (ppa.) • Dipl.-Ing. Josef-A. Patron (ppa.)

Anerkannte Prüfsachverständige für den Erd- und Grundbau.

von der IHK Berlin öffentlich bestellter und vereidigter Sachverstandiger für Baugruben, Injektionen und Bauwerksabdichtungen im Untergrund.
 von der Baukammer Berlin öffentlich bestellter und vereidigter Sachverständiger für Spezialtiefbau, Schwingungen im Baugrund und Bauwerk, Gründungsschäden.
 von der IHK Berlin öffentlich bestellter und vereidigter Sachverständiger für Gründungen, Wasserhaltungen; Erschütterungen im Baugrund.
 EBA-Gutachter für Geotechnik bei Baumaßnahmen im Eisenbahnbau.

Handelsregister Nr.: HRB 16 439 Berlin-Charlottenburg

Berliner Volksbank BLZ 100 900 00 Konto 2094 096 009

BIC: BEVODEBB IBAN-Nr.: DE47100900002094096009

Michendorf Leipzig Hamburg

Köln Athen New Delhi Gutachterlich Kurzstellungnahme

Verflüssigungsgefahr AVR-Behälterlager

Wir wurden beauftragt, auf Grundlage dieser Untersuchungen einen Nachweis der Bodenverflüssigung nach KTA 2201.2 /1/ und nach den Empfehlungen des NCEER-Workshops 1996/1998 /2/ durchzuführen.

Der Nachweis nach KTA ist ein konservatives, zweistufiges Verfahren. Im der ersten Stufe wird ein Ausschlusskriterium aufgrund der Sieblinien der jeweiligen Schichten angewendet. Liegen die Sieblinien nicht in einem der eng begrenzten unkritischen Bereiche, so ist in der zweiten Stufe ein weiterer Nachweis unter überschlägiger Berücksichtigung der seismischen Einwirkung und der in-situ Lagerungsdichte anzuwenden. Kann auch nach dem zweiten Kriterium eine Verflüssigung nicht grundsätzlich ausgeschlossen werden, sind genauere Untersuchungen erforderlich, deren Form und Umfang nicht näher spezifiziert werden.

Das Verfahren nach den Empfehlungen des NCEER-Workshops wird allgemein als "vereinfachtes Verfahren" bezeichnet. Zur Ermittlung der geologisch-geotechnischen Standortparameter sind Sondierungen erforderlich, die in normierter Form in eine Größe zur Beschreibung des Widerstandes gegen Verflüssigung umgerechnet werden. Diese Größe wird der seismischen Einwirkung gegenübergestellt, und man erhält eine Sicherheit gegen Verflüssigung FS (factor of safety). Ergibt sich FS < 1, so kann eine Verflüssigung nicht ausgeschlossen werden. Die Herleitung des Verfahrens beruht auf der statistischen Auswertung aufgetretener Schadensfälle. Mit diesem Verfahren ist gegenüber dem Nachweisverfahren nach KTA 2201.2 eine deutlich präzisere Identifikation kritischer Schichten möglich.

Die Nachweise nach KTA 2201.2 ergaben, dass lokal für hinsichtlich der Kornverteilung kritische Teufenbereiche bis zu einer Tiefe von 50 m unter GOK eine Verflüssigung nicht grundsätzlich ausgeschlossen werden kann. Demnach sind die betroffenen Schichten verflüssigungsgefährdet, und es sind genauere Untersuchungen erforderlich.

Die Nachweise der Bodenverflüssigung nach NCEER-Workshop ergaben, dass in wenigen, vergleichsweise geringmächtigen Bereichen/Schichten bis zu einer Tiefe von ca. 30 m unter GOK eine Bodenverflüssigungsgefahr besteht. Damit konnte für einige der nach KTA 2201.2 als verflüssigungsgefährdet einzustufende Schichten nachgewiesen werden, dass keine Verflüssigungsgefahr besteht.

Nach unserer Einschätzung und den Empfehlungen des KTA-Regelwerkes sind somit für die betroffenen Schichten genauere Untersuchungen notwendig, die gegenwärtig durchgeführt werden. Diese Untersuchungen umfassen eine genauere Erfassung der durch die seismische Einwirkungen hervorgerufenen Beanspruchungen des Untergrundes, die gegenwärtig von SDA-engineering

Gutachterlich Kurzstellungnahme

Verflüssigungsgefahr AVR-Behälterlager

GmbH (AVR-BL-0058 /3/; u. a. mit neuen Dämpfungsparametern und Bodenbeschleunigungen) durchgeführt wird. Ferner wird zyklische Laborversuche durchgeführt, mit denen das reale Verflüssigungsverhalten des am Standort des Gebäudes 12.6 mit AVR-Behälterlager anstehenden Bodens unter seismischer Einwirkung experimentell ermittelt werden kann. Sollten diese Versuche zu dem Ergebnis führen, dass unter dem Bemessungserdbeben eine Verflüssigung ausgeschlossen werden kann, ist der Nachweis gegen Bodenverflüssigung erbracht.

Für Rückfragen zu dieser Stellungnahme stehe ich gerne zur Verfügung.

Mit freundlichen Grüßen

(facili)

Univ.-Prof. Dr.-Ing. S. Savidis

Literaturverweise

- /1/ KTA 2201.2:2012-11 Auslegung von Kernkraftwerken gegen seismische Einwirkungen Teil 2: Baugrund. Kerntechnischer Ausschuss
- Youd, T. L., Idriss, I. M., Andrus, R. D., Arango, I., Castro, G., Christian, J. T., et al. (2001). Liquefaction Resistance of Soils: Summary Report from the 1996 NCEER and 1998 NCEER/NSF Workshops on Evaluation of Liquefaction Resistance of Soils. Journal of Geotechnical and Geoenvironmental Engineering 127(10), 817-833
- AVR-BL-0058 Berechnung von Freifeld-Antwortspektren für den Standort des AVR-Behälterlagers der Forschungszentrum Jülich GmbH (Technische Notiz zu Erdbebenstandsicherheitsnachweisen). SDA-engineering GmbH, Rev. 2, (noch in Überarbeitung)



AVR-Behälterlager Jülich (Geb. 12.6)

Genehmigungsverfahren nach § 6 AtG zur weiteren Aufbewahrung der AVR-Brennelemente für drei Jahre

AVR-BL-0605

Gebäude 12.6 mit AVR-Behälterlager am Forschungszentrum Jülich Vereinfachter Verflüssigungsnachweis nach KTA 2201.2 und NCEER

Einreich.-Nr.

Titel

Datum

Ersteller/ Rev.

AVR-BL-0605 Gebäude 12.6 mit AVR-Behälterlager

13.06.2014

GuD/Prof. Savidis, G 138/13A, Rev.00

am Forschungszentrum Jülich Vereinfachter Verflüssigungsnachweis nach KTA 2201.2 und NCEER

Einreichungsdatum:

18.06.2014

Einreichungsnummer:

AVR-BL-0605



GuD GEOTECHNIK und DYNAMIK CONSULT GmbH



GuD GEOTECHNIK UND DYNAMIK CONSULT GmbH Darwinstraße 13 • 10589 Berlin

BERATENDE INGENIEURE Öffentlich bestellte und vereidigte Sachverständige und Prüfsachverständige für Erd- und Grundbau

Darwinstraße 13 · 10589 Berlin Tel.: (030) 78 90 89-0 Fax: (030) 78 90 89-89 e-mail: office@gudconsult.de www.gudconsult.de

Ingenieurleistungen im Bauwesen und der Geotechnik

Gebäude 12.6 mit AVR-Behälterlager am Forschungszentrum Jülich

Vereinfachter Verflüssigungsnachweis nach KTA 2201.2 und NCEER

Auftraggeber:

Forschungszentrum Jülich GmbH

Leo-Brand-Straße 52428 Jülich

Bearbeiter:

Dipl.-Ing. W. Schepers

M. Sc. K. Grivas

Sachverständiger: Univ.-Prof. Dr.-Ing. S. Savidis

Berlin, den 13.06.2014

Berichtnummer: G 138/13A

Dieser Bericht umfasst 52 Seiten einschließlich Deckblatt und Anlagen

K:\AVR-B_G138.13\BERICHTE-GUTACHTEN\03_Verflüssigungsnachweis\G138-13A_04_Verfluessigungsnachweis-1-Rev00.WS.doc

Prof. Dr.-Ing. Kurt-M. Borchert ^{1) 2) 5)} • Dipl.-Ing. Hans L. Hebener ^{1) 3)} • Dr. rer. nat. Götz Hirschberg • Dr.-Ing. Fabian Kirsch¹⁾
Dr.-Ing. Jens Mittag¹⁾ • Prof. Dr.-Ing. Thomas Richter^{1) 4)} • Univ. Prof. Dr.-Ing. Stavros Savidis • Dipl.-Ing. Univ. Nikolaus Schneider Dipl.-Ing. Kerstin Deterding⁵⁾ (ppa.) • Dipl.-Ing. Josef-A. Patron (ppa.)

1) Anerkannte Prüfsachverständige für den Erd- und Grundbau.

2) von der IHK Berlin öffentlich bestellter und vereidigter Sachverständiger für Baugruben, Injektionen und Bauwerksabdichtungen im Untergrund.

3) von der Baukammer Berlin öffentlich bestellter und vereidigter Sachverständiger für Spezialtiefbau, Schwingungen im Baugrund und Bauwerk, Gründungsschäden.

4) von der IHK Berlin öffentlich bestellter und vereidigter Sachverständiger für Gründungen, Wasserhaltungen, Erschütterungen im Baugrund.

5) EBA-Gutachter für Geotechnik bei Baumaßnahmen im Eisenbahnbau.

Handelsregister Nr.: HRB 16 439 Berlin-Charlottenburg Berliner Volksbank

BLZ 100 900 00 Konto 2094 096 009

BIC: BEVODEBB

IBAN-Nr.: DE47100900002094096009

Michendorf

m Köln M Athen

■ Leipzia Hamburg

M New Delhi

Geb. 12.6 mit AVR-Behälterlager, FZ Jülich

Revisionsblatt für Bericht G 138/13A

Revision	Datum	Bemerkung	erstellt	geprüft / freigegeben
00	13.06.2014	Urfassung	WS, KG	Sa

Inhaltsverzeichnis

1 .	Zusammenfassung	4
2	Referenzen	6
2.1	Unterlagen	6
2.2	Normen und Regelwerke	6
2.3	Fachliteratur	6
3	Veranlassung und Vorgeschichte	8
4	Systematisierung der Eingangsdaten	9
4.1	Auflasten	9
4.2	Grundwasserstände	10
4.3	Kenngrößen für den Nachweis nach KTA 2201.2	13
4.4	Kenngrößen für den Nachweis nach NCEER-Workshop	13
5	Nachweis der Verflüssigungsgefahr nach KTA 2201.2	14
5.1	Vorgehensweise	14
5.2	Beschränkungen des KTA-Verfahrens	16
5.3	Umfang der Nachweise	17
5.4	Zuordnung der Kornverteilungskurven zu Zonen nach KTA 2201.2	21
5.5 5.5.1 5.5.2 5.5.3 5.5.4	Grafische Darstellung der Sicherheit gegen Bodenverflüssigung	29 30
5.6	Zusammenfassung der Ergebnisse nach KTA 2201.2	33
6	Nachweis der Verflüssigungsgefahr nach NCEER-Workshop	34
6.1	Vorgehensweise	34
6.2	Umfang der Nachweise	37
6.3	Beschränkungen des Verfahrens	38
6.4 6.4.1 6.4.2 6.4.3	Grafische Darstellung der Sicherheit gegen Bodenverflüssigung	39 40
6.5	Zusammenfassung der Ergebnisse nach NCEER-Workshop	42
7	Unterschriften	43
Anlage A	Detailergebnisse des Nachweises nach KTA 2201.2	45
Anlage R	Frachnisdetails des Nachweises nach NCFFR-Workshop	49

Geb. 12.6 mit AVR-Behälterlager, FZ Jülich

1 ZUSAMMENFASSUNG

Dieser Bericht enthält die Ergebnisse der vereinfachten Nachweise der Sicherheit gegen Bodenverflüssigung am Gebäude 12.6 des Forschungszentrums Jülich. Die Nachweise erfolgen sowohl nach KTA 2201.2:2012:10 [N2], als auch nach dem Verfahren nach NCEER-Workshop [L2].

Die Berechnungen erfolgen unter Heranziehung der in Herbst und Winter 2013/2014 durchgeführten Baugrunduntersuchungen [U1] und Drucksondierungen [U2], sowie von kürzlich durchgeführten seismologischen Untersuchungen [U5].

Das KTA-Verfahren zur Abschätzung der Möglichkeit einer Bodenverflüssigung ist am Standort des Gebäudes 12.6 in seiner Anwendbarkeit beschränkt, da für die überwiegend anstehenden Sand-Schluff-Gemische keine gesicherten Korrelationen zwischen der relativen Lagerungsdichte und dem Spitzenwiderstand einer Drucksondierung existieren. An denjenigen Stellen, an denen das KTA-Verfahren ohne Einschränkung anwendbar ist, wird überwiegend ermittelt, dass keine Verflüssigung anzunehmen ist. Lediglich in der Tiefenlage von ca. 10,00 m bis 13,00 m wird prognostiziert, dass lokal eine Bodenverflüssigung nicht auszuschließen ist, und es sind genauere Untersuchungen erforderlich (siehe KTA 2201.2 [N2], Abschnitt A 4.2, Schritt 3). Mit anderen Worten: die nach KTA 2201.2 durchgeführten Nachweise ergeben, dass genauere Untersuchungen erforderlich sind, weil lokal verflüssigungsgefährdete Schichten existieren. Eine grafische Darstellung der Verflüssigungsgefahr nach dem KTA-Verfahren findet sich im Abschnitt 5.5. Eine Zusammenfassung und Bewertung der Ergebnisse nach dem KTA-Verfahren enthält Abschnitt 5.6.

Das Verfahren nach NCEER-Workshop [L2] ergibt im Tiefenbereich von ca. 7,00 m bis ca. 41,00 m bis zu fünf eng begrenzte Bänder mit unterschiedlicher Mächtigkeit (1,0 m bis 2,0 m je nach Bohrung bzw. Sondierung), in denen eine Verflüssigung aufgrund der rechnerischen Ergebnisse nicht ausgeschlossen werden kann. Eine grafische Darstellung der Verteilung der Sicherheit gegen Bodenverflüssigung nach NCEER-Workshop über die Tiefe enthält Abschnitt 6.4. Eine Zusammenfassung und Bewertung der Ergebnisse nach NCEER-Workshop enthält Abschnitt 6.5.

Da tertiäre Bodenschichten, die am Gebäude 12.6 unterhalb einer Tiefe von ca. 29,00 m anstehen, aufgrund ihres hohen Alters im Allgemeinen immun gegen Bodenverflüssigung sind, kann unterhalb von 29,00 m Tiefe davon ausgegangen werden, dass keine Bodenverflüssigung auftreten wird.

Aufgrund von vereinzelt auftretenden Widersprüchen zwischen der lithologischen Bewertung des Untergrundes aus den Ergebnissen der Drucksondierungen und der Ansprache der durch

Geb. 12.6 mit AVR-Behälterlager, FZ Jülich

Bohrungen gewonnenen Schichtprofile, sowie der verfahrensbedingten Unschärfen bei der Bestimmung des Bodentyps aus den Messergebnissen der Drucksondierungen, sind weitere, genauere Untersuchungen (u. a. Durchführung von zyklischen Laborversuchen am gewonnenen Probenmaterial) erforderlich.

Im Rahmen der von uns gegenwärtig durchgeführten weiteren genaueren Nachweise werden zyklische bodenmechanische Laborversuche ausgeführt. Ferner werden die im KTA- und NCEER-Verfahren getroffenen pauschalen Annahmen zur Verteilung der durch das Erdbeben induzierten zyklischen Spannungen im Untergrund durch von SDA-engineering gelieferte ortsspezifische Analysen ersetzt.

2 REFERENZEN

2.1 UNTERLAGEN

- [U1] Abschlußbericht zu den Geotechnischen Untersuchungen im Bereich des Gebäudes 12.6 des Forschungszentrum Jülich GmbH. Gutachten Nr. N-OG 025/13 BGA Abschlußbericht mit Datum vom 22.04.2014. Geotechnisches Büro N. Müller, Dr. W. Müller und Partner
- [U2] Dokumentation Auswertung von elektrischen Drucksondierungen hinsichtlich der bezogenen Lagerungsdichte und Konsistenz für das Bauvorhaben Forschungszentrum Jülich, Gebäude 12.6 mit AVR-Behälterlager. Aufgestellt durch Fugro Consult GmbH, KT-Nr. 630-14-601, mit Datum vom 10.04.2014
- [U3] Gutachten zur Beurteilung der Auswirkungen des Bemessungserdbebens auf unzulässige Veränderungen des Baugrunds im Bereich des vorhandenen AVR-Behälterlagers, hier: potentielle Bodenverflüssigung infolge Erdbeben. Erstellt durch IQ Ingenieurgesellschaft Quadriga mbH mit Datum vom 23.05.2013
- [U4] Berechnung der seismischen Belastung auf der Bodenplatte des AVR-Behälterlagers der Forschungszentrum Jülich GmbH (Technische Notiz zu Erdbebenstandsicherheitsnachweisen). Aufgestellt durch SDA-engineering GmbH, TN SDA/WTI Bodenpl., Rev. 2 mit Datum vom 11.03.2013.
- [U5] Technische Notiz Neuberechnung von standortbezogenen Freifeld-Antwortspektren für die Standort des Gebäudes 12.6 mit AVR-Behälterlager und Verladehalle der Abfallzellen der Forschungszentrum Jülich GmbH. Entwurf von 04.06.2014, aufgestellt durch SDA-engineering GmbH

2.2 NORMEN UND REGELWERKE

- [N1] KTA 2201.1:2012-11 Auslegung von Kernkraftwerken gegen seismische Einwirkungen
 Teil 1: Grundlagen. Kerntechnischer Ausschuss
- [N2] KTA 2201.2:2012-11 Auslegung von Kernkraftwerken gegen seismische Einwirkungen Teil 2: Baugrund. Kerntechnischer Ausschuss
- [N3] DIN 4020:2010-12 Geotechnische Untersuchungen für bautechnische Zwecke Ergänzende Regelungen zu DIN EN 1997-2

2.3 FACHLITERATUR

[L1] Seed, H., & Idriss, I. M. (1970). A Simplified Procedure for Evaluating Soil Liquefaction Potential. *J Soil Mech Found Div. ASCE*, 97 (SM9), 1249-1273

Geb. 12.6 mit AVR-Behälterlager, FZ Jülich

- [L2] Youd, T. L., Idriss, I. M., Andrus, R. D., Arango, I., Castro, G., Christian, J. T., et al. (2001). Liquefaction Resistance of Soils: Summary Report from the 1996 NCEER and 1998 NCEER/NSF Workshops on Evaluation of Liquefaction Resistance of Soils. Journal of Geotechnical and Geoenvironmental Engineering, 127 (10), 817-833
- [L3] Jamiolkowski M., Ghionna V. N., Lancelotta R., Pasqualini E. (1988) New correlations of penetration tests for design practice. In: de Ruiter, J. (Ed.) Penetration Testing 1988, 20-24 March 1988, Orlando, Fl, USA, Vol. 1 pp. 263-296. A. A. Balkema Rotterdam/Brookfield
- [L4] Baldi G., Bellotti R., Ghionna V., Jamiolkowski M. and Pasqualini E. (1986) "Interpretation of CPTs and CPTUs; 2nd Part: Drained Penetration of Sands", Proceedings of the Fourth International Geotechnical Seminar, Singapore, 143-56
- [L5] Whitman R. V. et al. (1985) Liquefaction of Soils During Earthquakes. Final Report of a workshop of the Commission on Engineering and Technical Systems, National Research Council. Dedham, USA, March 28-30, 1985
- [L6] Hamada M. et al. (2000) Earthquake Resistant Design Codes in Japan. Japan Society of Civil Engineers, ISBN 4-8106-0266-4. Tokyo: Maruzen
- [L7] Tsuchida, H. (1970) Prediction and Countermeasure Against the Liquefaction in Sand Deposits, pp. 3.1-3.33. In: Abstract of the Seminar in the Port and Harbor Research Institute (in Japanisch).
- [L8] Poulos H. G., Davis E. H. (1974) Elastic solutions for soil and rock mechanics. John Wiley & Sons, New York

Geb. 12.6 mit AVR-Behälterlager, FZ Jülich

3 VERANLASSUNG UND VORGESCHICHTE

Zum Nachweis der Sicherheit gegen Bodenverflüssigung unter dem Gebäude 12.6 mit AVR-Behälterlager auf dem Gelände des FZ Jülich wurden im Frühjahr 2013 erste Untersuchungen nach KTA 2201.2 durchgeführt. Grundlage dieser Untersuchung waren Erkundungsbohrungen und Sondierungen, die nicht am Gebäude 12.6 selbst, sondern in dessen näherer Umgebung in früherer Zeit durchgeführt wurden. Die Untersuchungen konnten eine Bodenverflüssigung nicht sicher ausschließen.

Für eine genauere Beurteilung der Verflüssigungsgefahr unter dem Gebäude 12.6 mit AVR-Behälterlager wurden in Abstimmung mit der Genehmigungsbehörde im Herbst und Winter 2013/2014 Erkundungsbohrungen und Drucksondierungen in unmittelbarer Nähe zum Gebäude 12.6 durchgeführt. Wir wurden beauftragt, auf Grundlage dieser neuen Bodenuntersuchungen einen Nachweis der Sicherheit gegen Bodenverflüssigung nach KTA 2201.2 [N2] und nach den Empfehlungen des NCEER-Workshops [L2] durchzuführen.

Geb. 12.6 mit AVR-Behälterlager, FZ Jülich

4 SYSTEMATISIERUNG DER EINGANGSDATEN

4.1 AUFLASTEN

Die vereinfachten Nachweisverfahren nach KTA 2201.2 [N2] und NCEER-Workshop [L2] wurden für den Fall einer freien Oberfläche ohne Auflasten durch Gebäude oder andere Strukturen entwickelt. Da im vorliegenden Fall das Gebäude 12.6 bereits in Betrieb ist, muss überprüft werden, ob die daraus resultierenden zusätzlichen Spannungen im Untergrund einen günstigen oder einen ungünstigen Einfluss auf die Sicherheit gegen Bodenverflüssigung haben.

Bauwerkslasten führen in der Regel zu einer Abminderung der Gefahr einer Bodenverflüssigung, da die effektiven vertikalen Spannungen im Boden erhöht werden. Ist die Einbindetiefe jedoch so hoch, dass das Gewicht des ausgehobenen Bodens das Gebäudeeigengewicht übersteigt, so tritt im Vergleich zu einer Freifeldsituation unterhalb des Gebäudes der gegenteilige Effekt auf und die Gefahr einer Bodenverflüssigung steigt.

Dem Gutachten [U4] ist zu entnehmen, dass die Einbindetiefe des Gebäudes 12.6 mit der Dicke der Bodenplatte übereinstimmt. Die Dicke der Bodenplatte beträgt ca. 0.5 m. Da ferner beim höchsten anzunehmenden Grundwasserstand der Grundwasserspiegel unter UK Bodenplatte liegt (siehe Abschnitt 4.2), entspricht das Gewicht der Bodenplatte in guter Näherung dem Gewicht des ausgehobenen Bodens. Die Einbindung des Gebäudes in den Untergrund kann daher vernachlässigt werden.

Durch die Stützen des Gebäudes werden nach Unterlage [U3] Pressungen von ca. 80 kN/m² in den Untergrund geleitet. Die Einbindetiefe der Köcherfundamente beträgt nach Unterlagen [U3] und [U4] ca. 1.50 m bei einer Höhe von ca. 1,20 m und horizontalen Abmessungen von ca. 2,70 m × 3,70 m. Die Auflasten auf die Stützenfundamente führen somit zu Bodenpressungen von ca. 50 kN/m². Da die Köcherfundamente nur geringe horizontale Abmessungen haben, klingen die bzgl. der Bodenverflüssigung mindernd wirkenden Spannungen sehr schnell mit der Tiefe ab. Für einen vereinfachten Nachweis der Sicherheit gegen Bodenverflüssigung können die Bodenpressungen aus den Köcherfundamenten daher ebenfalls auf der sicheren Seite liegend vernachlässigt werden.

Die Bodenpressungen unter der Bodenplatte aus der vorhandenen Befüllung betragen nach [U4] ca. 95 kN/m². Durch die großen Abmessungen der Bodenplatte von ca. 25 m × 18 m werden diese Pressungen bis tief in den Untergrund eingeleitet. Es wäre daher überkonservativ, die günstige Wirkung zu vernachlässigen. Es ist dabei zu beachten, dass der Verlauf der Zusatzspannungen im Boden aus dem Gewicht der Befüllung von der Lage des betrachteten Punkte auf der Bodenplatte abhängt. An den Ecken der Bodenplatte klingen die Zusatzspannungen am

schnellsten mit zunehmender Tiefe ab, in der Mitte der Bodenplatte am langsamsten. Auf der sicheren Seite liegend wird daher der Zusatzspannungsverlauf an einer Ecke der Bodenplatte angenommen.

Der Verlauf der vertikalen Zusatzspannungen durch die Lagerbefüllung errechnet sich nach [L8] aus:

$$\Delta\sigma_{z} = \frac{p}{2\pi} \left[\tan^{-1} \left(\frac{L \cdot B}{z \cdot R_{3}} \right) + \frac{L \cdot B \cdot z}{R_{3}} \left(\frac{1}{R_{1}^{2}} + \frac{1}{R_{2}^{2}} \right) \right]$$
(4-1)

mit p als konstant angenommener Sohlpressung, L und B der Länge und Breite der Bodenplatte, z der Tiefe, $R_1^2 = L^2 + z^2$, $R_2^2 = B^2 + z^2$ und $R_3 = \sqrt{L^2 + B^2 + z^2}$.

4.2 GRUNDWASSERSTÄNDE

Ein hoher Grundwasserstand vermindert die effektiven Spannungen im Boden und führt zu einer Erhöhung der Gefahr einer Bodenverflüssigung in den wasserführenden Schichten. Liegen mehrere Grundwasserleiter vor, so hängt es von den Druckverhältnissen in den Grundwasserleitern ab, ob dadurch eine Erhöhung oder eine Abminderung der Gefahr der Bodenverflüssigung in den angrenzenden, weniger durchlässigen Bodenschichten zwischen den Grundwasserleitern hervorgerufen wird. Findet eine Strömung von unten nach oben statt, so wird die effektive Spannungen gegenüber einem rein hydrostatischen Zustand vermindert, und die Gefahr der Bodenverflüssigung wird erhöht. Bei einer Strömung von oben nach unten wird die Gefahr der Bodenverflüssigung entsprechend abgemindert.

Im Abschlussbericht zu den geotechnischen Untersuchungen [U1] werden drei Grundwasserleiter mit den dazugehörigen mittleren Grundwasserspiegeln aufgeführt, siehe Tabelle 4.1.

Geb. 12.6 mit AVR-Behälterlager, FZ Jülich

Tabelle 4.1: Potentialhöhen der Grundwasserleiter, nach [U1]

Grundwasser- stockwerk	Schichtglied	Horizont	mittlerer GWS 10/2013 und 01/2014	
Stockwerk			[m u. GOK]	[mNN]
190 7	Rur-Niederterrasse	. 19	00.21	97.45
1	Jüngere Hauptterrasse	16	ca. 3,1	87,15
	Ältere Hauptterrasse	14	505	
2	Prätegelen-Schichten	12	ca. 5,35	84,90
3	Reuver-Sande	10	ca. 28,75	61,50

Demnach wird das oberste GW-Stockwert vom Schichthorizont 15 (Waal-Horizont) getragen. Der zweite GW-Leiter wird vom Schichthorizont 11 (Reuver-Ton) getragen, und der dritte GW-Leiter von einer tiefen, unterhalb der Erkundungstiefe liegenden Schicht.

Die Grundwasserstockwerke 2 und 3 sind gespannte Grundwasserleiter. Die Potentialhöhe des GW-Stockwerks 2 reicht bis in den Schichthorizont 16, und die Potentialhöhe des GW-Stockwerks 3 reicht bis in das GW-Stockwerk 2. Die sich daraus ergebenden Wasserdruckverlauf sind in Bild 4.1 am Beispiel der Bohrung RKB1 dargestellt. Es ist zu erkennen, dass der Potentialausgleich in den Horizonten 15 und 11 stets zu einer Strömung nach unten führt, und somit die Gefahr der Bodenverflüssigung durch Erhöhung der effektiven Spannungen im Boden vermindert. Der Wasserdruckverlauf in den Bohrungen RKB2 bis RKB4 unterscheidet sich vom Verlauf in Bohrung RKB1 nur dadurch, dass die Oberkanten der Horizonte 15 und 11 leicht voneinander abweichend liegen, während weiterhin dieselben GWS wie in RKB1 angesetzt werden.

Vereinfachend und auf der sicheren Seite liegend wird bei den Nachweisen der Bodenverflüssigung davon ausgegangen, dass sich im Grundwasserstockwerk 1 ein Grundwasserstand von 89.25 mNHN gemäß den Angaben in [U1] (Seite 49) ausbildet.

Da der Horizont 13 (Tegelen-Formation) nicht durchgehend in allen Bohrungen aufgefunden wurde, muss davon ausgegangen werden, dass die Druckverhältnise des GW-Stockwerk 2 durch diese Bodenschicht nicht beeinflusst werden.

Geb. 12.6 mit AVR-Behälterlager, FZ Jülich

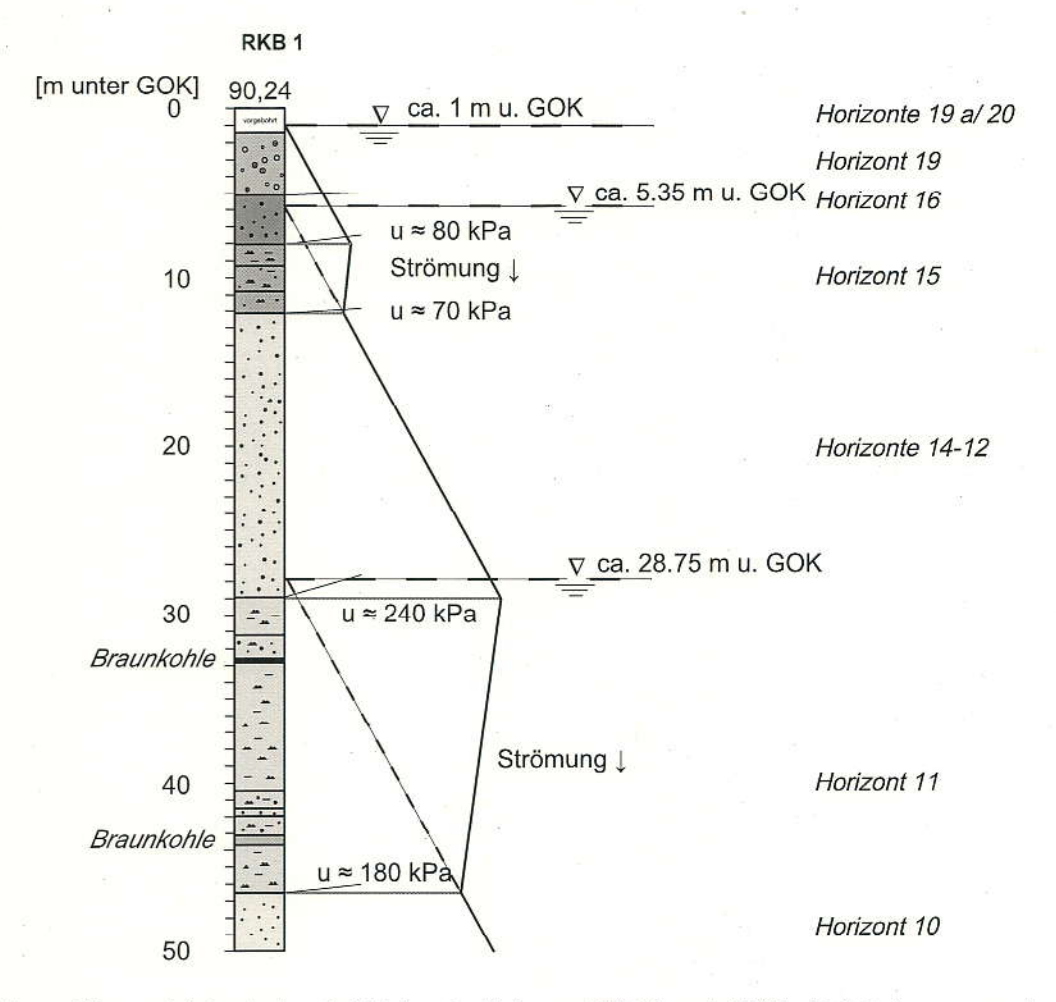


Bild 4.1: Wasserdrücke in den Schichten der Bohrung RKB 1 nach [U1] bei höchstem anzunehmendem GW-Stand nach KTA 2201.2 [N2]

Geb. 12.6 mit AVR-Behälterlager, FZ Jülich

4.3 KENNGRÖßEN FÜR DEN NACHWEIS NACH KTA 2201.2

Erforderliche Daten	Quelle	Bemerkungen	
Zugehörigkeit zu KTA-Zonen	[U1], Anlage 15 und 16		
Feuchtwichte	[U1], Seite 37		
Effektive Wichte	[U1], Seite 37		
Maximale Oberflächenbeschleunigung	[U5], Tabelle 2	a_{max} = 0,230 g (RKB1, RKB3) bzw. a_{max} = 0,215 g (RKB2)	
Bezogene Lagerungsdichte	[U2] Anlage 2		

4.4 KENNGRÖßEN FÜR DEN NACHWEIS NACH NCEER-WORKSHOP

Erforderliche Daten	Quelle	Bemerkungen
Schichthorizont	[U1], Anlage 5	
Feuchtwichte	[U1], Seite 37	
Effektive Wichte	[U1], Seite 37	
CPT Spitzenwiderstand	[U2], Anlage 2	
CPT lokale Mantelreibung	[U2], Anlage 2	
Maximale Oberflächenbeschleunigung	[U5], Tabelle 2	$a_{max} = 0.230 g (CPTU1, CPTU3) bzw.$ $a_{max} = 0.215 g (CPTU2)$
Bezogene Lagerungsdichte	[U2] Anlage 2	

Geb. 12.6 mit AVR-Behälterlager, FZ Jülich

5 NACHWEIS DER VERFLÜSSIGUNGSGEFAHR NACH KTA 2201.2

5.1 VORGEHENSWEISE

Anhang A4 der KTA 2201.2:2012-11 [N2] enthält einen zweistufigen Nachweis der Verflüssigungsgefahr. Die erste Stufe besteht in einem Vergleich der Lage der Kornverteilungskurve einer Bodenprobe relativ zu zwei Kornverteilungszonen nach Bild 5.1.

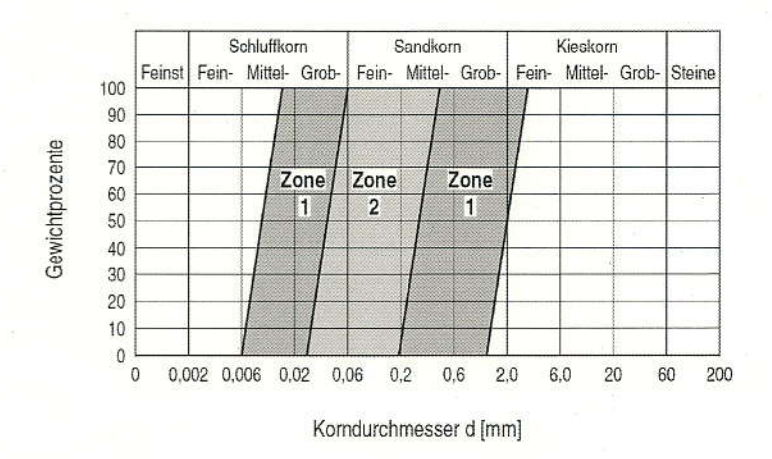


Bild 5.1: Verflüssigungsgefährdete Kornverteilungsbereiche nach KTA 2201.2:2012-11, Bild A-4

Liegt die Kornverteilungskurve außerhalb der angegebenen Zonen 1 und 2, ist keine Verflüssigung anzunehmen. Liegt der wesentliche Anteil der Kornverteilungskurve innerhalb der Zonen 1 und 2, so ist die zweite Stufe der Prüfung durchzuführen.

In der zweiten Stufe wird das durch die Erdbebenbelastung in jeder Tiefe induzierte dynamische Schubspannungsverhältnis max τ/σ_0' der bezogenen Lagerungsdichte I_D gegenübergestellt. Das dynamische Schubspannungsverhältnis wird aus der Beziehung

$$\frac{\max \tau}{\sigma_0'} = \frac{\sigma_0}{\sigma_0'} \cdot \frac{\max a}{g} \cdot r_d \tag{5-1}$$

ermittelt, mit max a der maximalen Erdbebenbeschleunigung an der Bodenoberfläche, g der Erdbeschleunigung, σ_0' der effektiven Spannung unter Bauwerkslast und Bodeneigengewicht, σ_0 der totalen Spannung unter Bauwerkslast und Bodeneigengewicht bei höchstem Grundwasserstand, und r_d dem tiefenabhängigen Reduktionsfaktor nach Bild 5.2. Bei Tiefen z > 29 m wird konservativ $r_d \equiv 0.5$ gesetzt.

Geb. 12.6 mit AVR-Behälterlager, FZ Jülich

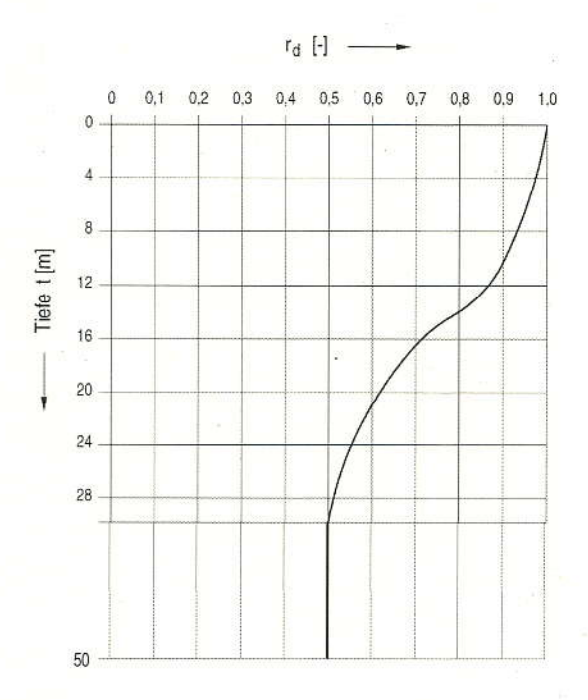


Bild 5.2: Reduktionsfaktor r_d in Abhängigkeit von der Tiefe nach KTA 2201.2:2011-12, Bild A-6

In [L2] (Seite 830), wird der Frage nachgegangen, in welcher Form dem Vorhandensein von zwei senkrecht zu einander wirkenden Horizontalbeschleunigungen Rechnung zu tragen ist. Es wird in [L2] erwähnt, dass von Professor Idriss, einem der Autoren von [L1], das als Grundlage für den Verflüssigungsnachweis nach KTA 2201.2 [N2] dient, berichtet wurde, dass stets nur der größere der beiden Maximalwerte der horizontalen Beschleunigungen für die Zusammenstellung von Daten zur Herleitung des Verfahrens nach [L1] verwendet wurde. In den nachfolgenden Verflüssigungsnachweisen wird daher stets nur der Maximalwert der horizontalen Beschleunigung verwendet. Nach KTA 2201.1 [N1] Abschnitt 3.5 (4) werden die Bodenantwortspektren und damit die maximalen Beschleunigungen für beide horizontalen Komponenten als gleich groß angenommen. Die Erhöhung um den Faktor 1,2 zur Ermittlung der resultierenden horizontalen Maximalbeschleunigung wird nicht angewendet, weil sie bei der Herleitung des Verfahrens zur Abschätzung der Verflüssigungsgefahr bereits enthalten ist.

Das nach Gleichung (5-1) für jede Tiefenkoordinate ermittelte dynamische Schubspannungsverhältnis wird der bezogenen Lagerungsdichte gegenübergestellt. Liegt deren Schnittpunkt oberhalb der maßgebenden Grenzlinie nach Bild 5.3, so ist Bodenverflüssigung nicht auszuschließen, und es sind genauere Untersuchungen erforderlich.

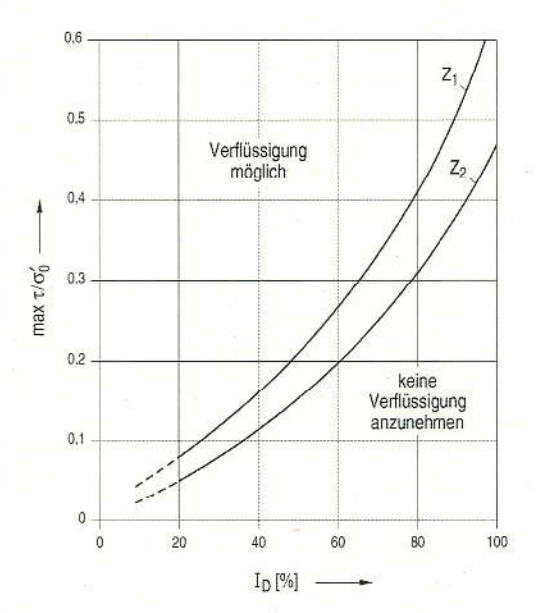


Bild 5.3: Diagramm zur Abschätzung der Möglichkeiten einer Bodenverflüssigung, nach KTA 2201.2:2011-12, Bild A-5

Die Kurven in Bild 5.3 werden mit folgenden Formeln approximiert:

Zone 1:
$$\left(\frac{\text{max }\tau}{\sigma_0'}\right)_{\text{grenz, Zone 1}} = 0.531 \cdot \left(I_D\right)^3 - 0.3508 \cdot \left(I_D\right)^2 + 0.4344 \cdot I_D + 0.0198$$
 (5-2)

Zone 2:
$$\left(\frac{\text{max }\tau}{\sigma_0'}\right)_{\text{grenz, Zone 2}} = 0.262 \cdot \left(I_D\right)^3 - 0.0751 \cdot \left(I_D\right)^2 + 0.2792 \cdot I_D + 0.0043$$
 (5-3)

Eine Sicherheit gegen Verflüssigung FS ("Factor of Safety")¹ lässt sich definieren als das Verhältnis zwischen dem Spannungsverhältnis der Grenzkurven nach Gl. (5-2) bzw. Gl. (5-3) und dem zu erwartenden Spannungsverhältnis aufgrund der Erdbebenbelastung nach Gl. (5-1).

5.2 BESCHRÄNKUNGEN DES KTA-VERFAHRENS

Die erste Stufe des Verfahrens nach KTA 2201.2 zum Nachweis der Sicherheit gegen Bodenverflüssigung kann nur in einer vergleichsweise geringen Anzahl von Fällen ein Bodenverflüssigung sicher ausschließen. Diese Fälle umfassen lediglich Ton-Schluff-Gemische mit einem mittleren Korndurchmesser $d_{50} < 0,01$ mm, sowie Sand-Kies-Gemische mit einem Sandkornanteil unterhalb von 50 %. Von diesen Bodenarten sind lediglich die Ton-Schluff-Gemische in gerin-

¹ Es sei angemerkt, dass die KTA 2201.2 keine Definition einer Sicherheit gegen Verflüssigung enthält. Diese Größe wird hier eingeführt, um eine grafische Darstellung und einen unmittelbaren Vergleich mit dem Nachweis nach NCEER-Workshop [L2] zu ermöglichen.

Geb. 12.6 mit AVR-Behälterlager, FZ Jülich

gem Umfang in den Bohrungen am Gebäude 12.6 angetroffen worden. Für die Mehrzahl der Bodenproben mussten daher weitere Untersuchungen durchgeführt werden.

Die zweite Stufe des Verfahrens stellt auf die bezogene Lagerungsdichte ab. Zur Ermittlung der bezogenen Lagerungsdichte aus in-situ Versuchen, insbesondere aus Drucksondierungen, stehen jedoch nur eingeschränkt Korrelationen zur Verfügung, mit deren Hilfe die bezogene Lagerungsdichte aus dem Sondierspitzendruckwiderstand abgeleitet werden kann. Die in DIN 4020 [N3] enthaltenen Korrelationen haben einen vergleichsweise stark eingeschränkten Anwendungsbereich auf Spitzenwiderstände von 3 MPa \leq qc \leq 30 MPa, sowie auf enggestufte Sande SE mit Ungleichförmigkeit U \leq 3 und weitgestufte Sande SW und Kiese GW mit U \geq 6.

Insbesondere im vorliegenden Fall, bei dem feinkörnige Sande und Sand-Schluff-Gemische dominant vorkommen, ist die Anwendung dieser Korrelationen nur unter Mißachtung der Anwendungsgrenzen möglich, so dass die sich daraus ergebenden Sicherheiten gegen Bodenverflüssigung mit erheblichen verfahrensbedingten Unsicherheiten behaftet sind.

Der Wertebereich ist durch die Grenzen des Spitzenwiderstandes auf $0 \le I_D \le 0.75$ begrenzt. Da jedoch die vorgefundenen Spitzenwiderstände vielfach deutlich oberhalb der Grenze von $q_c = 30$ MPa liegen, können die tatsächlich vorhandenen hohen relativen Lagerungsdichten im Nachweis nicht berücksichtigt werden. Der Nachweis nach KTA 2201.2 ist daher im vorliegenden Fall – sofern anwendbar – übermäßig konservativ.

Von einer Bewertung der Sicherheit gegen Bodenverflüssigung allein auf der Grundlage der Ergebnisse des Verfahrens nach KTA 2201.2 ist daher im vorliegenden Fall dringend abzuraten.

5.3 UMFANG DER NACHWEISE

Ein Verflüssigungsnachweis wird für jede Probe aus den Bohrungen RKB1, RKB2, RKB3 und RKB4 durchgeführt, für die eine Kornverteilungskurve und Bodenansprache gemäß [U1] vorliegt.

Die Ermittlung der Zugehörigkeit der Kornverteilungskurven zu den Zonen nach KTA 2201.2, Abschnitt A 4.2, erfolgte durch Auswertung der Kornverteilungskurven im Bericht zu den Geotechnischen Untersuchungen [U1], Anlagen 15 und 16.

Die Zuordnung der bezogenen Lagerungsdichte zu den Bodenproben erfolgte durch Auswertung der Dokumentation der Drucksondierungen [U2]. Das dort verwendete Verfahren zur Ermittlung der bezogenen Lagerungsdichte I_D aus den Spitzenwiderständen der Drucksondierungen ist in seiner Gültigkeit in Bezug auf die gemessenen Spitzenwiderständen beschränkt. Bei

Geb. 12.6 mit AVR-Behälterlager, FZ Jülich

bezogenen Lagerungsdichten, die als ">0,71" angegeben wurden, ist im Nachweis der Wert I_D = 0,71 verwendet worden.

Die in [U2] vereinzelt ebenfalls angegebene, nach Jamiolkowski et al. [L3] berechnete, bezogene Lagerungsdichte D_r wurde an den jeweiligen Stellen statt der bezogenen Lagerungsdichten I_D verwendet. Auf die Ursachen für die abweichenden Ergebnisse wird im Bericht zu den Geotechnischen Untersuchungen [U1], Abschnitt 4.1.3.3, näher eingegangen.

Führte die Auswertung der Sieblinien zu einer Zuordnung der Sieblinien zu einer der Zonen nach KTA 2201.2, während in der Dokumentation der Drucksondierungen [U2] aufgrund der lithografischen Bewertung keine bezogene Lagerungsdichte aufgeführt wurde, so wurde die bezogene Lagerungsdichte gemäß dem Verfahren nach [U1], Abschnitt 4.1.3.3, aus den Ergebnissen der Drucksondierungen nachträglich von uns ermittelt.

Die Sondierungen zu den Bohrlöchern RKB2 und RKB3 wurden jeweils abgebrochen und nach Vorbohrung neu angesetzt. Für die Übergangsbereiche bei ca. 7 m-9 m (RKB2) und ca. 25 m (RKB3) liegen keine Ergebnisse der Sondierungen vor. Daher können keine Aussagen zur Verflüssigungsgefahr gemacht werden.

Bei RKB2 im Bereich von 16,10 m bis 17,50 m zeigt sich ein erheblicher Widerspruch zwischen der lithologischen Bewertung der Sondierung und den Sieblinien, vgl. Dokumentation [U2], Anlagen 2.2.2.4 und 2.4.2. Die Sieblinie zeigt eine klare Zuordnung zu Zone 1 im Bereich eines Mittelsandes, wohingegen die lithografische Bewertung eine Schluff- oder Tonschicht bei sehr geringem Spitzendruckwiderstand ausweist. Entsprechend werden in [U2] an diesen Stellen keine bezogenen Lagerungsdichten ausgewiesen. Eine Bewertung bzgl. der Verflüssigungsgefahr ist daher nicht möglich.

Eine vollständige Liste der Bodenproben, deren bezogene Lagerungsdichten I_D gegenüber den Angaben in [U2] – sofern sinnvoll – manuell korrigiert wurden, sind in den nachfolgenden Tabellen für die Bohrungen RKB1, RKB2, RKB3 und RKB4 zusammengefasst.

Geb. 12.6 mit AVR-Behälterlager, FZ Jülich

Tabelle 5.1: Bodenproben mit manueller Korrektur der bezogenen Lagerungsdichte beim Nachweis nach KTA von Bohrung RKB1

Bohrung	Zugeordnete Tiefenlage unter GOK	Korrekturgrund
RKB1	9,50 m	Widerspruch zwischen CPT-Lithographie und Sieblinie,
	10,50 m	Auswertung nach DIN 4020
	10,52 m	
	10,72 m	
	10,90 m	
RKB1	12,70 m	Verwendung von D, nach Jamiolkowski et al. [L3] statt I
-	14,33 m	U
RKB1	28,00 m	Widerspruch zwischen CPT-Lithographie und Sieblinie,
	28,50 m	Auswertung nach DIN 4020
	32,81 m	
	32,88 m	
	33,10 m	
	33,43 m	
	35,40 m	
	36,65 m	2 8)
	37,10 m	
	38,00 m	
	38,95 m	
	40,78 m	
	42,75 m	
RKB1	45,95 m	Sondierung CPTU1 bei 45,62 m unter GOK abgebrocher
	46,75 m	keine Bewertung möglich
	48,00 m	
	48,70 m	
	49,40 m	
	50,00 m	

Geb. 12.6 mit AVR-Behälterlager, FZ Jülich

Tabelle 5.2: Bodenproben mit manueller Korrektur der bezogenen Lagerungsdichte beim Nachweis nach KTA von Bohrung RKB2

Bohrung	Zugeordnete Tiefenlage unter GOK	Korrekturgrund		
RKB2	7,40 m 8,20 m	Bereich der Vorbohrung nach Neuansatz der Sondierung, keine Bewertung möglich.		
RKB2	10,10 m	Widerspruch zwischen CPT-Lithographie und Sieblinie, Auswertung nach DIN 4020		
RKB2	16,10 m 16,50 m 17,30 m	Widerspruch zwischen CPT-Lithographie und Sieblinie, keine Bewertung möglich		
RKB2	25,75 m – 25,90 m	Widerspruch zwischen CPT-Lithographie und Sieblinie, Auswertung nach DIN 4020		
RKB2	25,90 m – 26,17 m	Widerspruch zwischen CPT-Lithographie und Sieblinie. Sieblinie weit außerhalb der Gültigkeitsgrenzen nach DIN 4020 (Schluff). Keine Auswertung möglich.		
RKB2	28,10 m bis 33,80 m	Widerspruch zwischen CPT-Lithographie und Sieblinie, keine Bewertung möglich		
RKB2 35,42 m bis Endteufe		Sondierung CPTU2C bei 34,70 m unter GOK abgebrocher keine Bewertung möglich		

Tabelle 5.3: Bodenproben mit manueller Korrektur der bezogenen Lagerungsdichte beim Nachweis nach KTA von Bohrung RKB3

Bohrung	Zugeordnete Tiefenlage unter GOK	Korrekturgrund
RKB3	8,45 m 9,12 m 16,35 m	Widerspruch zwischen CPT-Lithographie und Sieblinie, Auswertung nach DIN 4020
	26,40 m	
RKB3	27,40 m	Auswertung nach DIN 4020 außerhalb der Gültigkeitsgrenzen
RKB3	31,40 m 32,40 m	Widerspruch zwischen CPT-Lithographie und Sieblinie, Auswertung nach DIN 4020
RKB3	32,75 m	Auswertung nach DIN 4020 außerhalb der Gültigkeitsgrenzen
RKB3	33,20 m	Widerspruch zwischen CPT-Lithographie und Sieblinie, Auswertung nach DIN 4020 läge weit außerhalb der Gültig- keitsgrenzen, keine Bewertung möglich
RKB3	35,15 m 38,95 m	Widerspruch zwischen CPT-Lithographie und Sieblinie, Auswertung nach DIN 4020
RKB3	44,30 m bis Endteufe	Sondierung CPTU3A bei 43,87 m unter GOK abgebrocher keine Bewertung möglich

Geb. 12.6 mit AVR-Behälterlager, FZ Jülich

Tabelle 5.4: Bodenproben mit manueller Korrektur der bezogenen Lagerungsdichte beim Nachweis nach KTA von Bohrung RKB4

Bohrung	Zugeordnete Tiefenlage unter GOK	Korrekturgrund
RKB4	10,23 m 20,80 m	Widerspruch zwischen CPT-Lithographie und Sieblinie, Auswertung nach DIN 4020
RKB4	27,80 m 28,95 m 32,50 m	Auswertung nach DIN 4020 außerhalb der Gültigkeitsgrenzen
RKB4	37,06 m 38,10 m	Widerspruch zwischen CPT-Lithographie und Sieblinie, Auswertung nach DIN 4020
RKB4	41,22 m 43,80 m	Auswertung nach DIN 4020 außerhalb der Gültigkeitsgrenzen
RKB4	46,56 m bis Endteufe	Sondierung CPTU4A bei 44,95 m unter GOK abgebrochen keine Bewertung möglich

5.4 ZUORDNUNG DER KORNVERTEILUNGSKURVEN ZU ZONEN NACH KTA 2201.2

Die Vorgehensweise zur Zuordnung der Kornverteilungskurven einer Bodenprobe zu den Zonen nach KTA 2201.2 [N2], Abschnitt A 4.2, wird dort nur qualitativ beschrieben. Demnach erfolgt die Zuordnung zu Zone 1 oder Zone 2, wenn der "wesentliche Anteil der Kornverteilungskurve" innerhalb der dort in Bild A-4 angegebenen Grenzen liegt. Eine quantitatives Kriterium fehlt. Es ist naheliegend, ein Kriterium in Bezug auf den Massenanteil einer Probe innerhalb der Zonengrenzen in der Kornverteilungskurve als quantitatives Kriterium heranzuziehen.

Ein Recherche in der Fachliteratur blieb ohne Erfolg. Ein ähnliches Diagramm wie Bild A-4 der KTA 2201.2 [N2] findet sich vergleichsweise häufig, aber stets nur mit ebenfalls qualitativen Angaben zur Zuordnung einer Kornverteilungskurven zu den dargestellten Zonen, z. B. [L5] und [L6]. Allen Sekundärquellen gemeinsam ist ein Verweis auf eine sehr schwer beschaffbare, in japanischer Sprache abgefasste Quelle [L7], so dass die Recherche an diesem Punkt beendet wurde.

Zur Untersuchung der Sensitivität der Zuordnung der Korngrößenverteilungen zu den Zonen nach KTA 2201.2 in Bezug auf den Massenanteil, ab dessen Überschreitung eine Kornverteilungskurve einer Zone nach KTA 2201.2 zugeordnet werden kann, wurde eine Parameterstudie durchgeführt.

Dazu wurden zunächst die Schnittpunkte der Kornverteilungskurven aus dem Abschlussbericht zu den Geotechnischen Untersuchungen [U1], Anlagen 15 und 16, mit den Zonengrenzen nach KTA 2201.2, Bild A-4, ermittelt. Das Ergebnis ist in Bild 5.4 bis Bild 5.7 dargestellt. Der jeweils

Geb. 12.6 mit AVR-Behälterlager, FZ Jülich

rot dargestellte Bereich ist der Anteil in Zone 2, und der rote und die beiden gelben Bereiche zusammengenommen ist der Anteil in Zone 1 nach KTA 2201.2. Die Breite der Balken ist somit ein Maß für den Massenanteil innerhalb der Zonengrenzen. Man erkennt, dass bei allen Bohrungen der überwiegende Teil der Sieblinien der Bodenproben innerhalb der in KTA 2201.2 angegebenen Grenzen der Zone 1 verlaufen.

Anschließend wurde die Häufigkeit der Zuordnung einer Bodenprobe zu den Zonen 1 und 2 in Abhängigkeit von der Wahl des Grenzkriteriums untersucht. Eine Bodenprobe wurde dabei der Zone 1 bzw. 2 zugeordnet, wenn der Massenanteil m' innerhalb der Korngrößen-Grenzlinien der Zonen liegt. Als Massenanteil m' wurde ein Wert von 50 %, 75 %, 85 % und 95 % verwendet. Die Auswertung erfolgte für jede Bohrung getrennt.

Das Ergebnis ist in Bild 5.8 zusammengefasst. Man erkennt, dass eine substantielle Verminderung der Anzahl der Proben, die keiner Zone zuzuordnen wären, erst bei einem Grenzkriterium von m' = 95 % eintritt. Diese Bedingung für eine Zuordnung erscheint uns jedoch zu streng zu sein. Die Zuordnung zu einer Zone beim Nachweis der Verflüssigung erfolgt daher vereinfachend dadurch, dass eine Probe den Zonen 1 und 2 genau dann zugeordnet wird, wenn 50 % Massenanteil innerhalb der jeweiligen Korngrößen-Grenzlinien nach KTA 2201.2, Bild A-4, liegen.

In Bild 5.8 ist ferner zu erkennen, dass der Anteil an Proben an der Gesamtanzahl Proben je Bohrloch, die jeweils einer Zone zugeordnet werden, bei allen Bohrungen näherungsweise gleich ist. Man kann daher davon ausgehen, dass der Untergrund unter dem Gebäude 12.6 in Bezug auf die Verflüssigungsgefahr diesbezüglich näherungsweise als homogen betrachtet werden kann.

Geb. 12.6 mit AVR-Behälterlager, FZ Jülich

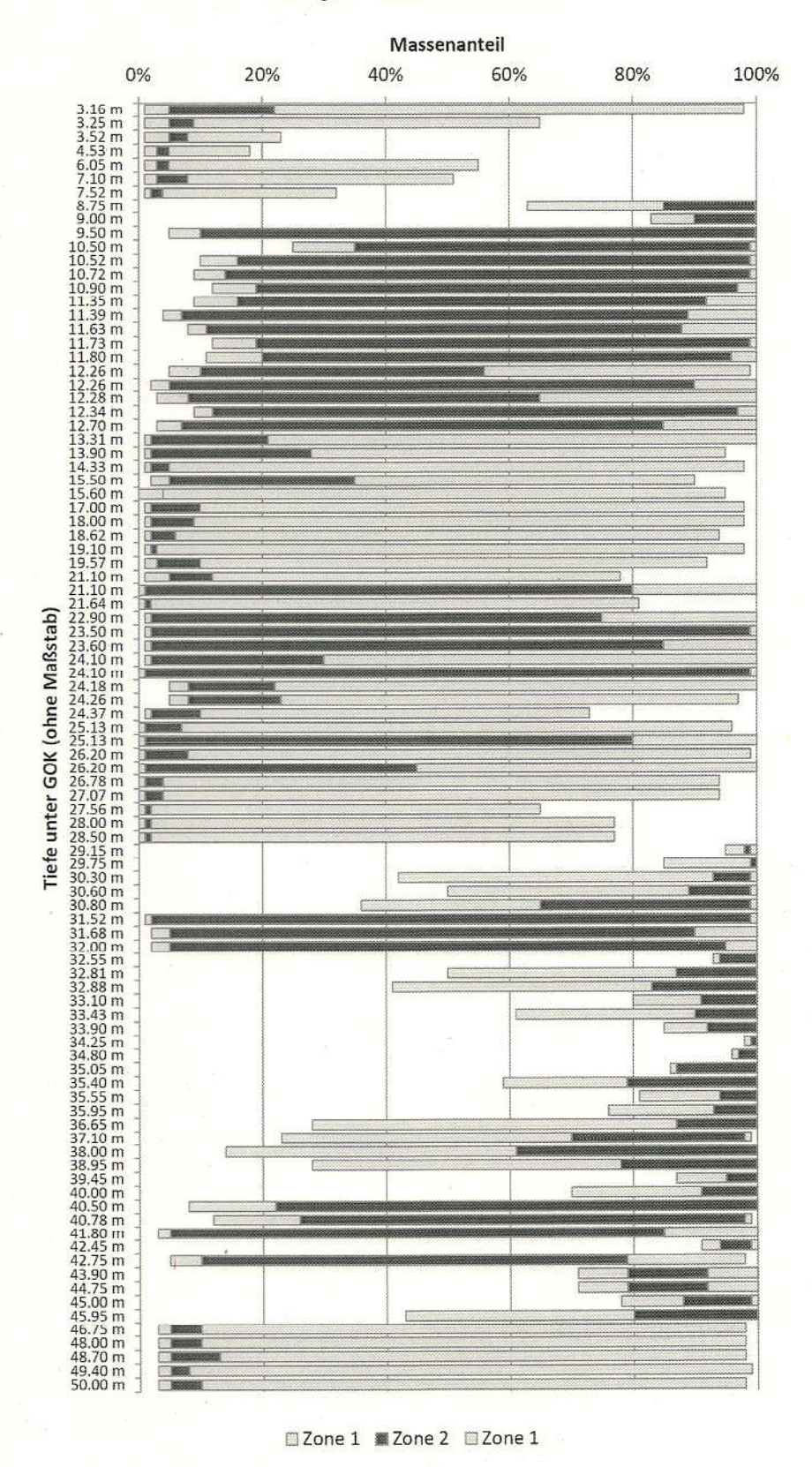


Bild 5.4: Massenanteile der Kornverteilungskurven von Bodenproben aus Bohrloch RKB1 in den Zonen nach KTA 2201.2 [N2]

Geb. 12.6 mit AVR-Behälterlager, FZ Jülich

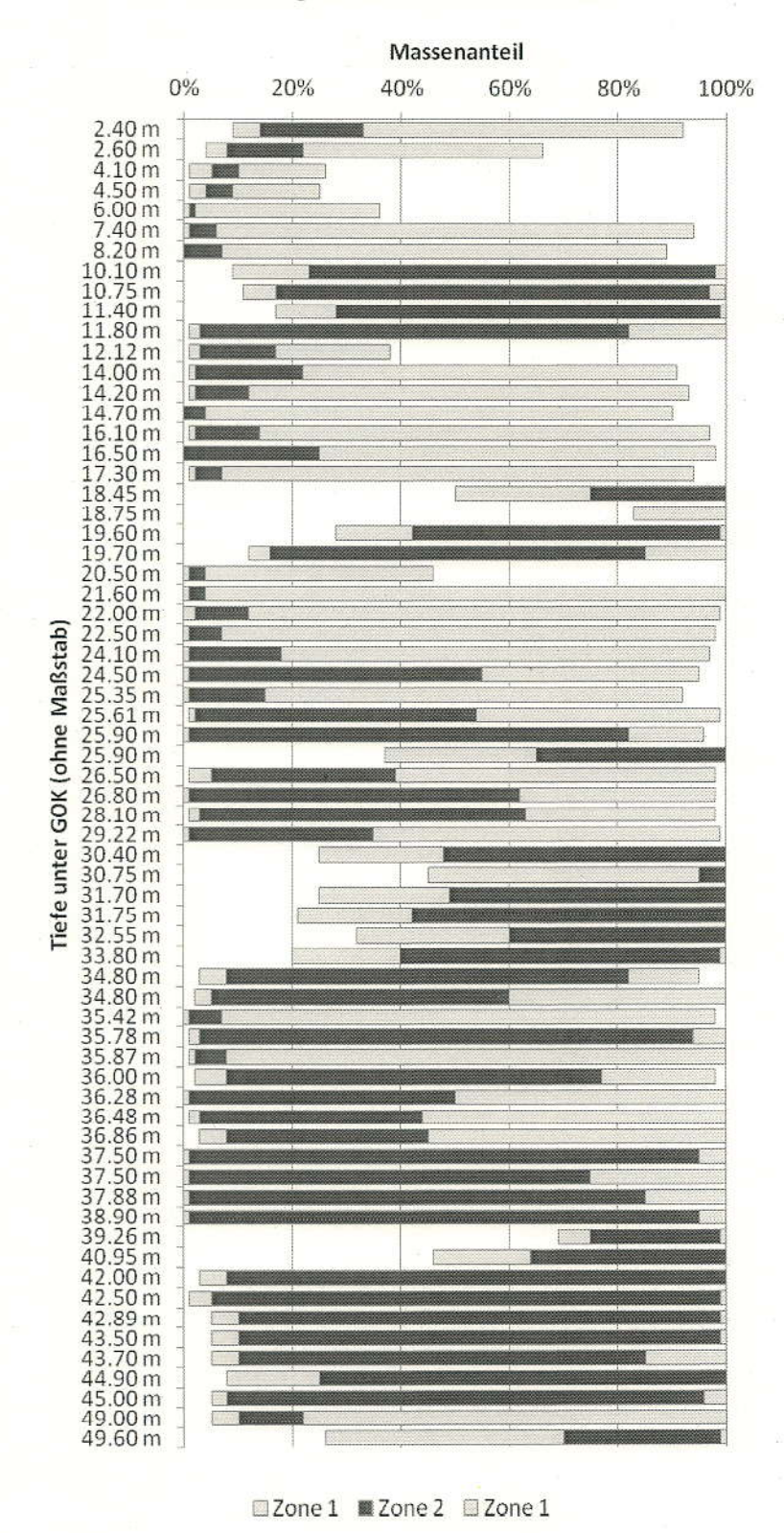


Bild 5.5: Massenanteile der Kornverteilungskurven von Bodenproben aus Bohrloch RKB2 in den Zonen nach KTA 2201.2 [N2]

Geb. 12.6 mit AVR-Behälterlager, FZ Jülich



Bild 5.6: Massenanteile der Kornverteilungskurven von Bodenproben aus Bohrloch RKB3 in den Zonen nach KTA 2201.2 [N2]

Geb. 12.6 mit AVR-Behälterlager, FZ Jülich

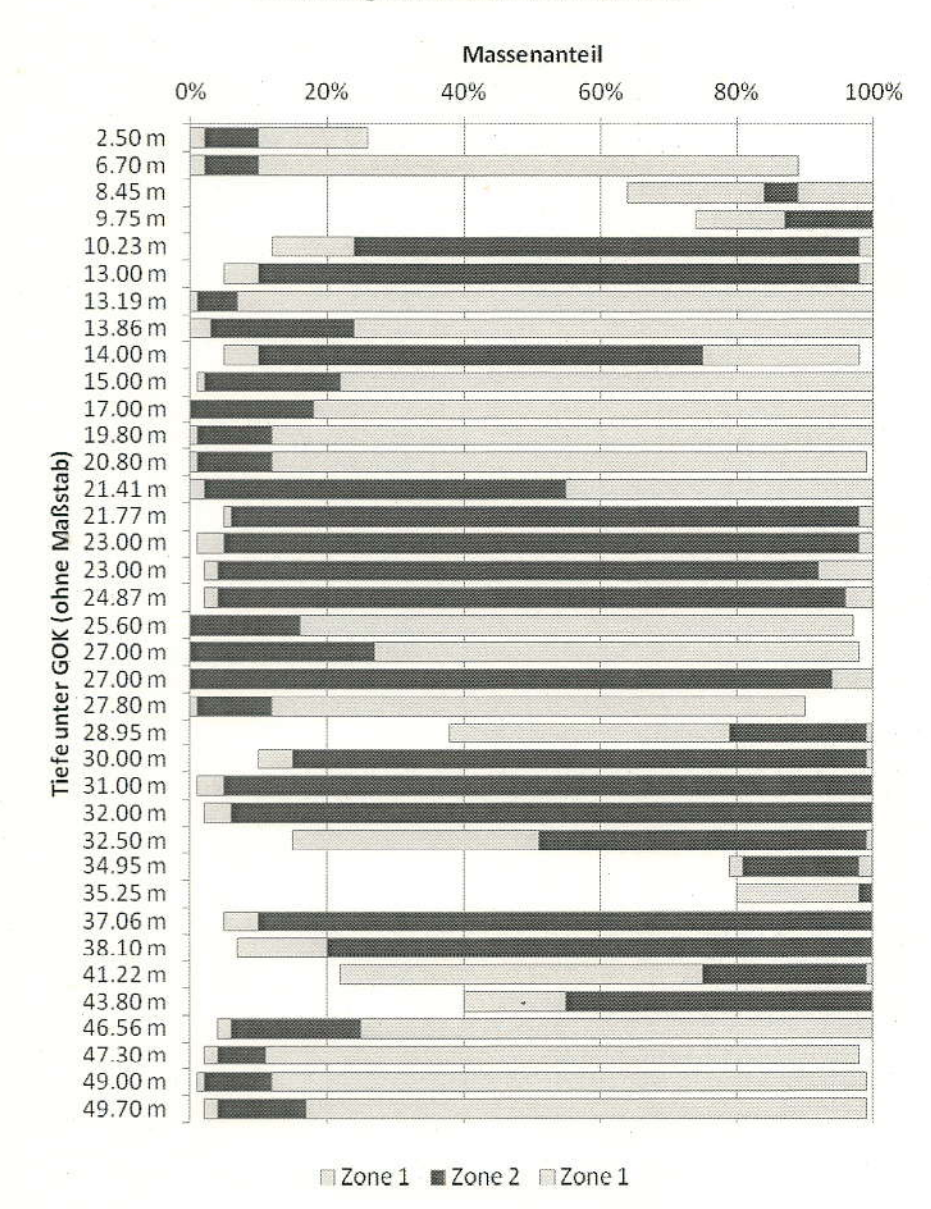


Bild 5.7: Massenanteile der Kornverteilungskurven von Bodenproben aus Bohrloch RKB4 in den Zonen nach KTA 2201.2 [N2]

Geb. 12.6 mit AVR-Behälterlager, FZ Jülich

■95% ■85% ■75% ■50%

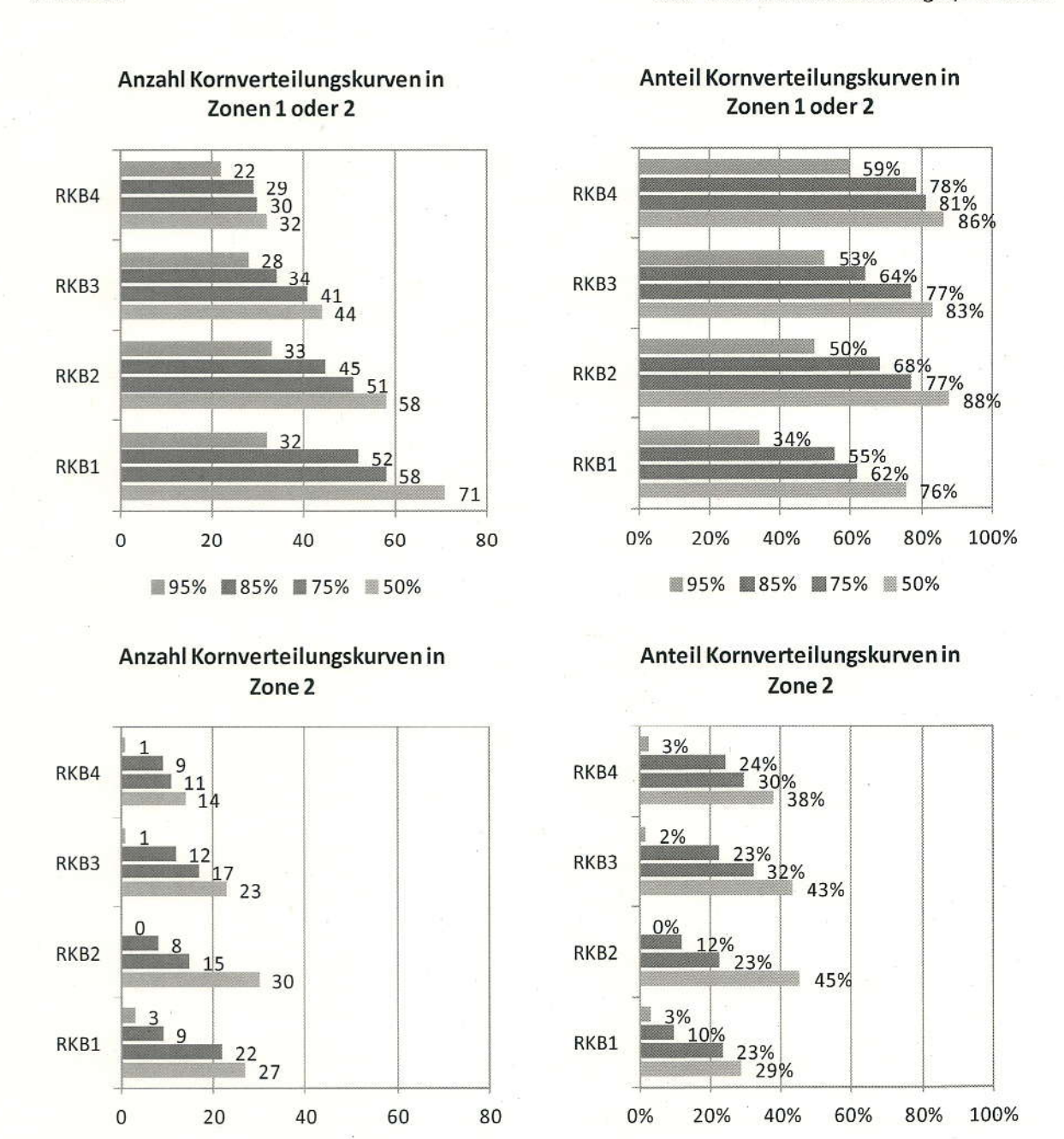


Bild 5.8: Anzahl Kornverteilungskurven je Bohrung und Anteil an den je Bohrung untersuchten Proben in den Zonen nach KTA 2201.2 [N2] in Abhängigkeit des Massenanteils, der als Kriterium zur Festlegung der Zuordnung angewendet wurde

■95% ■85% ■75% ■50%

Geb. 12.6 mit AVR-Behälterlager, FZ Jülich

5.5 GRAFISCHE DARSTELLUNG DER SICHERHEIT GEGEN BODENVERFLÜSSIGUNG

Die folgenden Grafiken zeigen die Auswertung der Bohrungen und Sondierungen nach KTA 2201.2. Die mit einem Kreuz markieren Tiefenbereiche konnten automatisiert ausgewertet werden.

Gelb markierte Tiefenbereiche zeigen an, dass keine Auswertung möglich war. Bei den mit einem Kreis markierten Tiefenbereichen musste eine manuelle Auswertung erfolgen. Details über die Gründe sind jeweils in den Tabellen in Abschnitt 5.3 zu finden.

Zur Erhöhung der Lesbarkeit der Diagramme wurde einer Bodenprobe, für die eine Sicherheit gegen Bodenverflüssigung FS > 3 ermittelt wurde, der Wert FS = 3 zugewiesen. Bodenproben, bei denen aufgrund der Sieblinie eine Verflüssigung ausgeschlossen werden kann, wurde ebenfalls die Sicherheit FS = 3 zugewiesen.

Die jeweils rechts neben den Diagrammen zur Bodenverflüssigungsgefahr dargestellten Schichtenprofile sind dem Bericht [U1] entnommen.

Geb. 12.6 mit AVR-Behälterlager, FZ Jülich

5.5.1 Bohrloch RKB 1

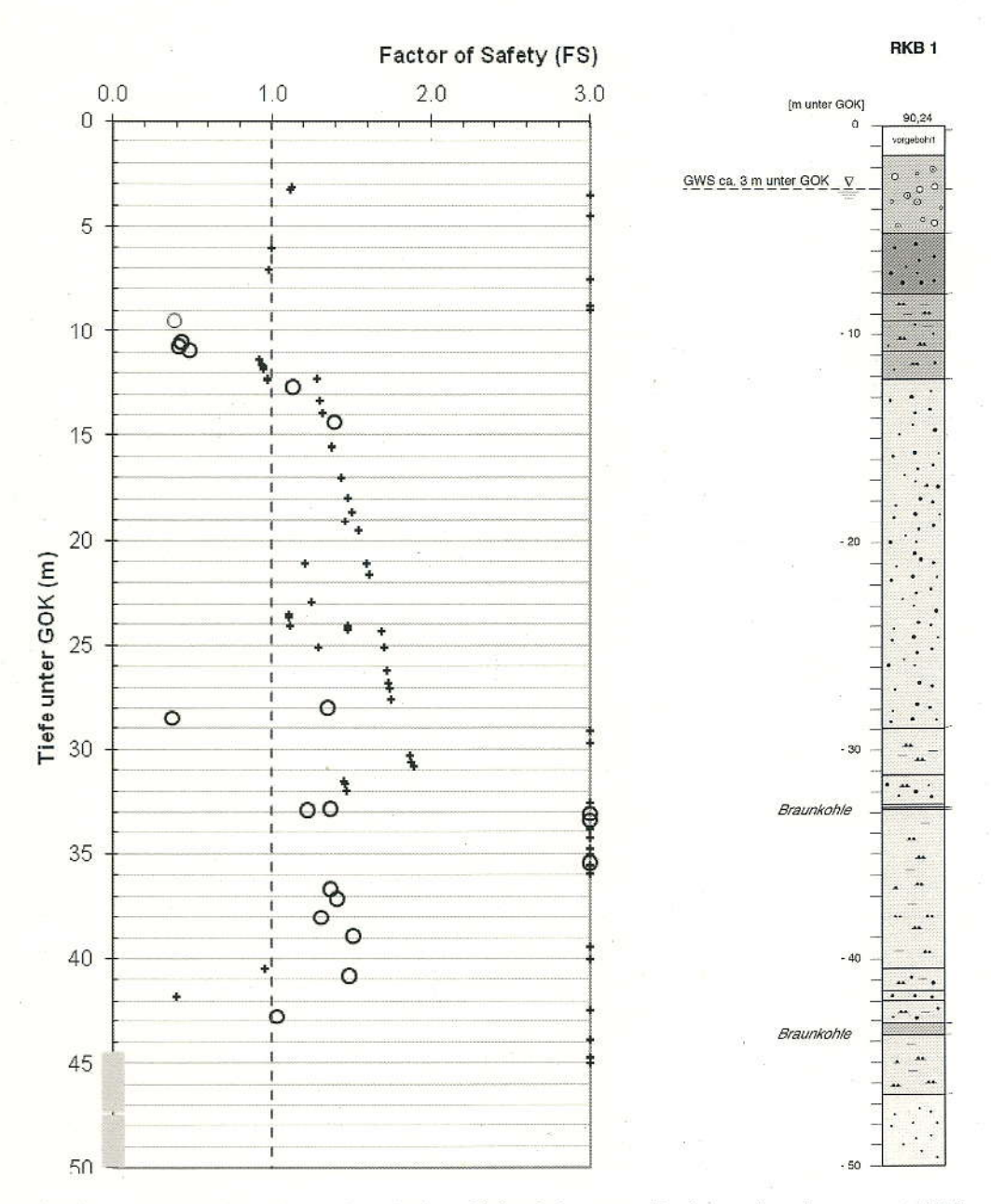


Bild 5.9: Grafische Darstellung der rechnerischen Sicherheit gegen Bodenverflüssigung nach KTA 2201.2 [N2] für Bohrloch RKB 1. Anmerkungen zu einzelnen Punkten siehe Tabelle 5.1 auf Seite 19

Geb. 12.6 mit AVR-Behälterlager, FZ Jülich

5.5.2 Bohrloch RKB 2

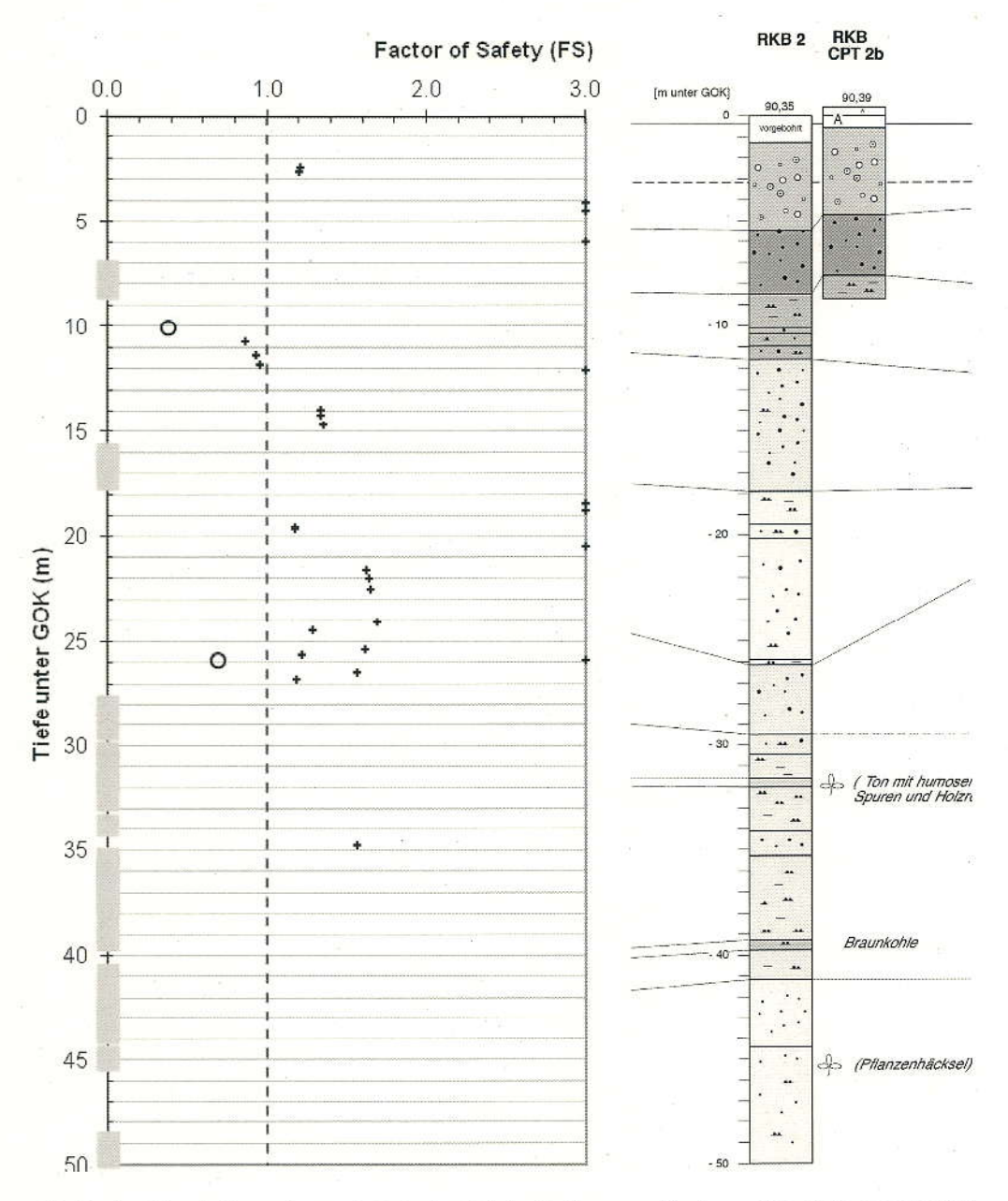


Bild 5.10: Grafische Darstellung der rechnerischen Sicherheit gegen Bodenverflüssigung nach KTA 2201.2 [N2] für Bohrloch RKB 2. Anmerkungen zu einzelnen siehe Tabelle 5.2 auf Seite 20

Geb. 12.6 mit AVR-Behälterlager, FZ Jülich

G 138/13A

5.5.3 Bohrloch RKB 3

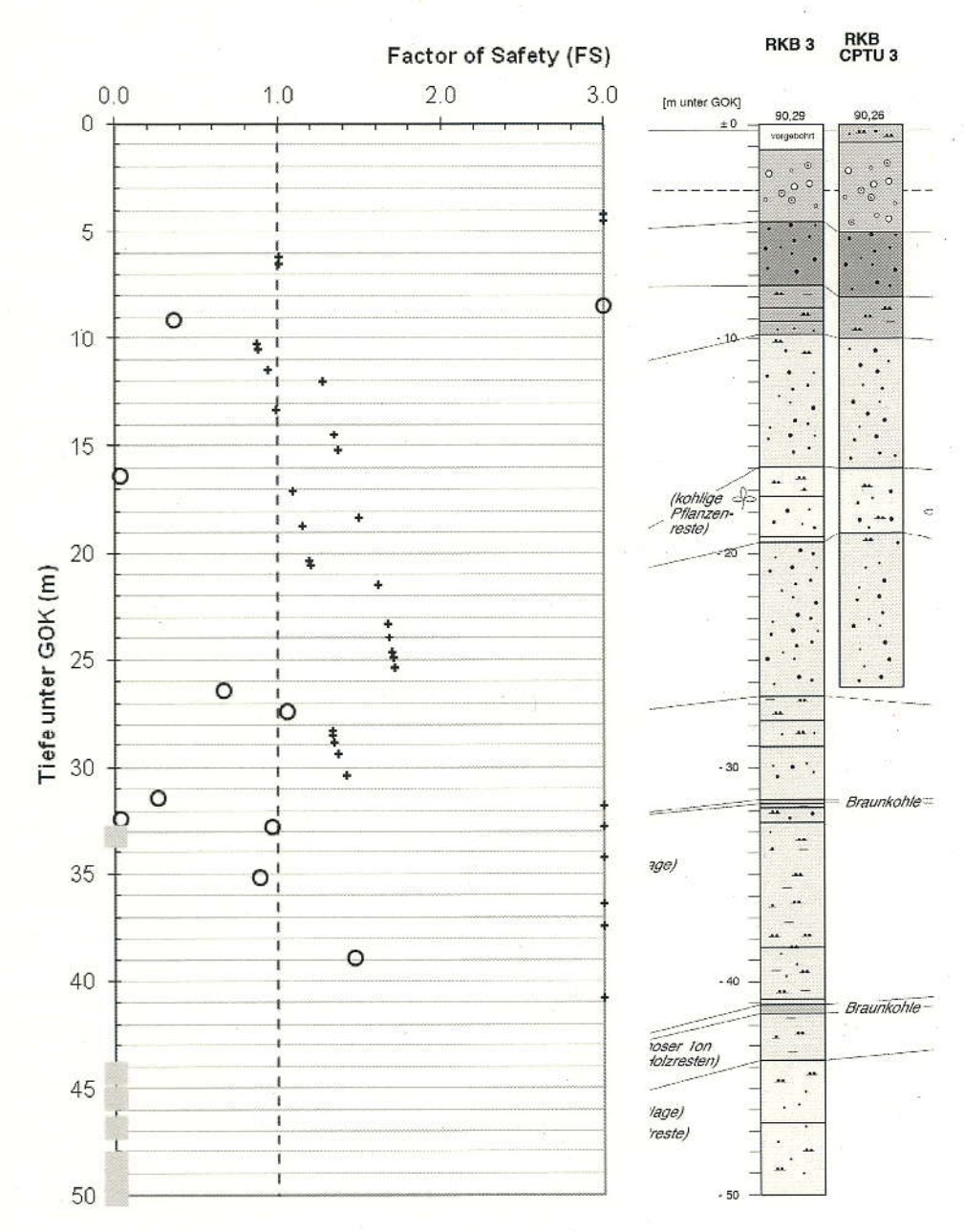


Bild 5.11: Grafische Darstellung der rechnerischen Sicherheit gegen Bodenverflüssigung nach KTA 2201.2 [N2] für Bohrloch RKB 3. Anmerkungen zu einzelnen Punkten siehe Tabelle 5.3 auf Seite 20

5.5.4 Bohrloch RKB 4

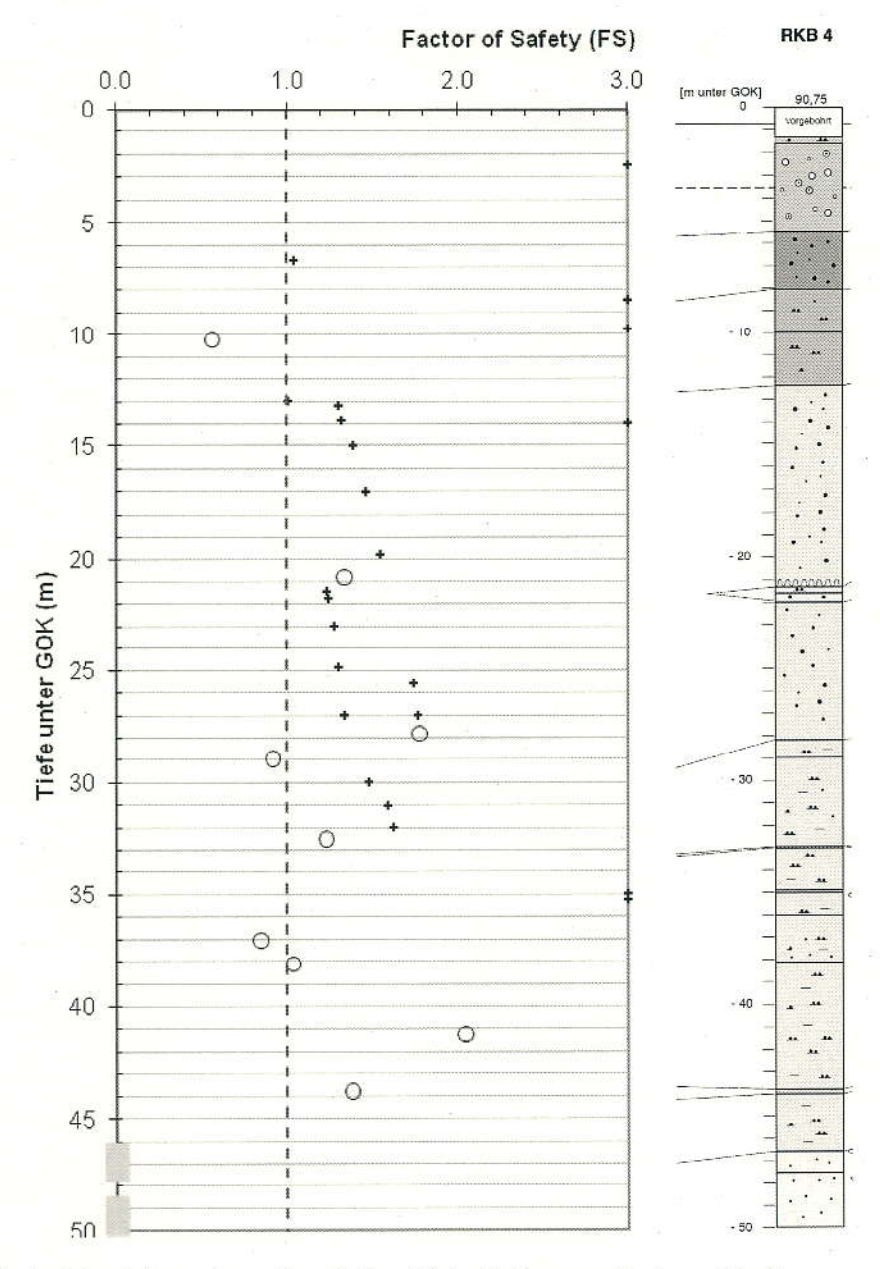


Bild 5.12: Grafische Darstellung der rechnerischen Sicherheit gegen Bodenverflüssigung nach KTA 2201.2 [N2] für Bohrloch RKB 4. Anmerkungen zu einzelnen Punkten siehe Tabelle 5.4 auf Seite 21

Geb. 12.6 mit AVR-Behälterlager, FZ Jülich

5.6 ZUSAMMENFASSUNG DER ERGEBNISSE NACH KTA 2201.2

Aus den detaillierten Ergebnissen in Anlage A sind folgende Schlüsse zu ziehen:

- a) Nur eine sehr geringe Anzahl Sieblinien liegen außerhalb der Zonengrenzen, so dass in der überwiegenden Zahl der Fälle weitergehende Betrachtungen notwendig sind
- b) Im Tiefenbereich von ca. 9,00 m bis 13,00 m unter GOK, d. h. im Bereich des unteren Waal-Horizontes, kann die Gefahr der Bodenverflüssigung mit dem Verfahren nach KTA 2201.2 nicht ausgeschlossen werden.
- c) Im Tiefenbereich zwischen ca. 13,00 m bis ca. 27,00 m kann eine Bodenverflüssigung ausgeschlossen werden.
- d) Im Bereich unterhalb von ca. 27,00 m liegen die Kennwerte des Bodens überwiegend außerhalb des Gültigkeitsbereiches der angewendeten Beziehungen zwischen Spitzendruck und bezogener Lagerungsdichte. Die ermittelten Werte für die Sicherheit gegen Verflüssigung sind daher nicht vertrauenswürdig. Eine belastbare Aussage über die Gefahr der Bodenverflüssigung ist daher nicht möglich.

6 NACHWEIS DER VERFLÜSSIGUNGSGEFAHR NACH NCEER-WORKSHOP

6.1 VORGEHENSWEISE

Der Nachweis erfolgt nach den Empfehlungen von zwei Workshops, die in den Jahren 1996 und 1998 in den USA vom National Center for Earthquake Engineering Research (NCEER) bzw. vom NCEER und der National Science Foundation (NSF) mit den führenden Experten mit dem Ziel durchgeführt wurden, einen Konsens bzgl. Updates und Ergänzungen zu Standard-Verfahren zur Bewertung des Verflüssigungswiderstandes, die in den 30 Jahren zuvor entwickelt wurden, herzustellen.

Die Ergebnisse der Workshops wurden in einem Fachaufsatz von allen Teilnehmern der Workshops im Jahre 2001 im Journal of Geotechnical and Geoenvironmental Engineering veröffentlicht [L2].

Die Sicherheit FS gegen Bodenverflüssigung wird definiert als

$$FS = (CRR_{7.5}/CSR) \cdot MSF \cdot K_{\sigma} \cdot K_{\sigma}$$
 (6-1)

Darin ist $CRR_{7.5}$ der Widerstand gegen Bodenverflüssigung ("cyclic resistance ratio") bei einem Erdbeben der Magnitude M_w = 7.5, CSR die seismische Einwirkung ("cyclic stress ratio"), und MSF ein Skalierungsfaktor ("magnitude scaling factor") zur Anpassung der Sicherheit an andere Erdbebenmagnituden als M_w = 7.5. Die empfohlene Beziehung zwischen Momentenmagnitude und MSF ist in Bild 6.1 reproduziert.

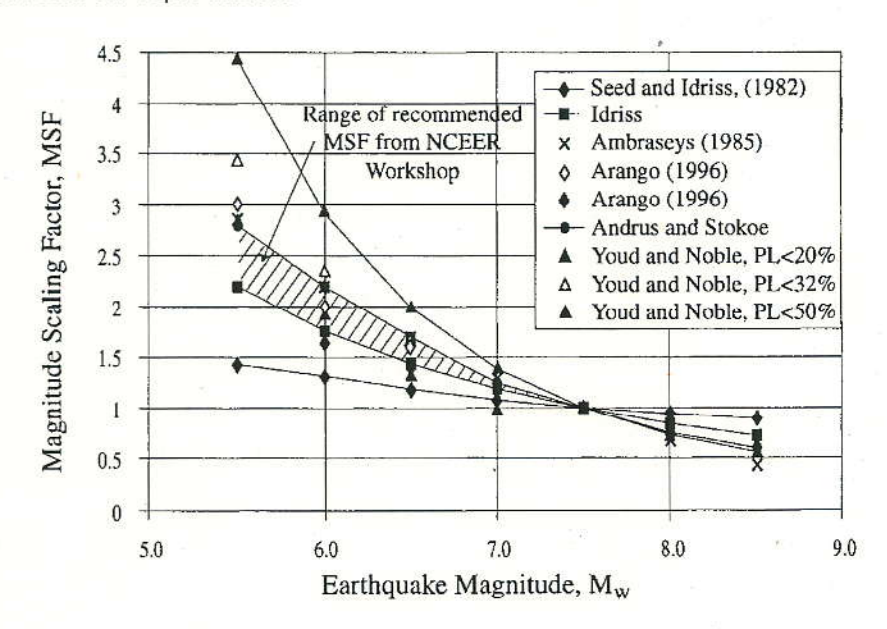


Bild 6.1: Magnitude Scaling Factor MSF nach [L2]

Geb. 12.6 mit AVR-Behälterlager, FZ Jülich

Der CSR ist definiert als

$$CSR = 0.65 \cdot \frac{\sigma_{v0}}{\sigma'_{v0}} \cdot \frac{\text{max a}}{\text{g}} \cdot r_{d}$$
 (6-2)

mit max a der maximalen Beschleunigung an der Bodenoberfläche, g der Erdbeschleunigung, σ'_{v0} der effektiven vertikalen Spannung aus Bauwerkslast und Bodeneigengewicht, σ_{v0} der totalen vertikalen Spannung unter Bauwerkslast und Bodeneigengewicht bei höchstem Grundwasserstand, und r_d dem tiefenabhängigen Reduktionsfaktor nach Gl. (6-3).

$$r_{d} = \frac{1.000 - 0.4113 z^{0.5} + 0.04052 z + 0.001753 z^{1.5}}{1.000 - 0.4177 z^{0.5} + 0.05729 z^{1.5} - 0.006205 z^{1.5} + 0.001210 z^{2}}$$
(6-3)

Der Verflüssigungswiderstand CRR kann aus dem Spitzenwiderstand einer CPT-Sondierung ermittelt werden. Die Beziehung zwischen dem CRR und dem normalisierten Spitzenwiderstand ist in Bild 6.2 dargestellt. Der CRR, der durch die sog. "Clean Sand Base Curve" definiert wird, kann dabei als dasjenige zyklische Spannungsverhältnis interpretiert werden, das erforderlich ist, um bei einer Magnitude M_w = 7.5 eine Bodenverflüssigung in einem Sand mit weniger als 5 % Feinkornanteil auszulösen.

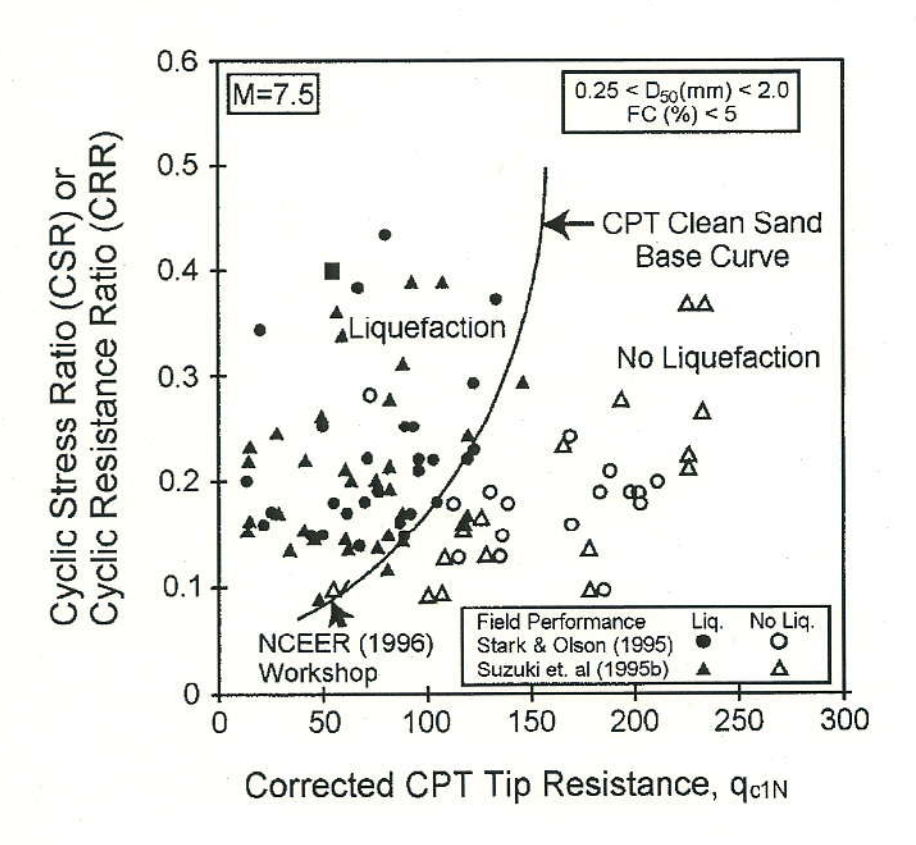


Bild 6.2: Beziehung zwischen CRR und normalisiertem Spitzenwiderstand nach [L2]

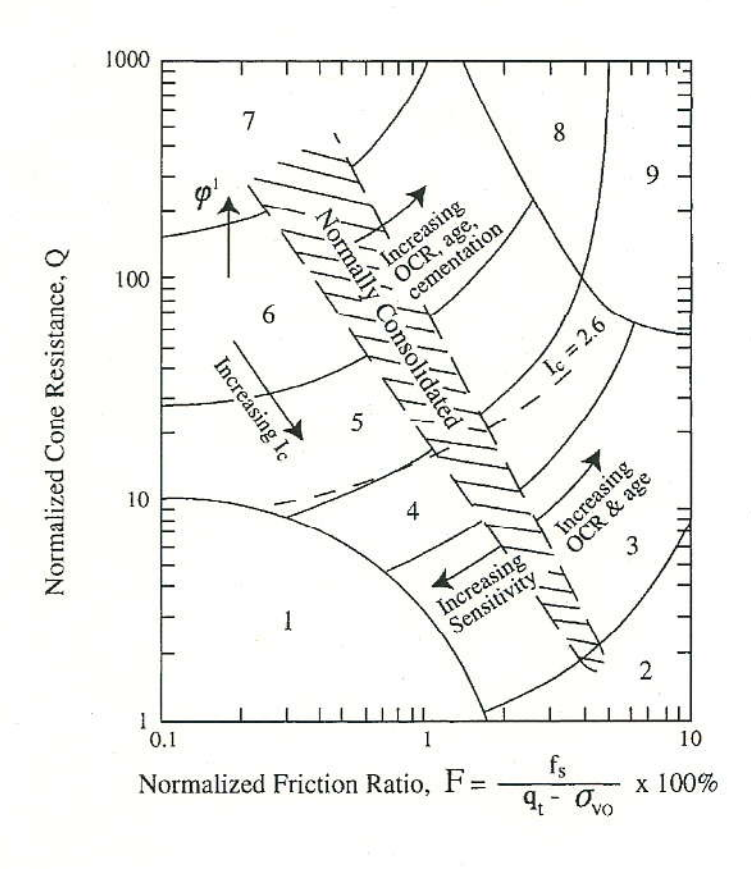
Der normalisiert Spitzenwiderstand wird aus dem gemessenen Spitzenwiderstand nach

Geb. 12.6 mit AVR-Behälterlager, FZ Jülich

$$q_{c1N} = C_Q(q_c/P_a) \tag{6-4}$$

$$C_{Q} = (P_{a} / \sigma_{0}^{\prime})^{n}$$
 (6-5)

ermittelt. Darin ist Pa der Luftdruck an der Geländeoberfläche, der als Skalierungsfaktor verwendet wird. Der Exponent n in Gl. (6-5) hängt vom Bodentyp ab, und wird iterativ ermittelt. Der Bodentyp wird aus dem Reibungsverhältnis zwischen Mantelreibung und Spitzendruckwiderstand der Drucksonde ermittelt. Die Einstufung erfolgt nach dem Diagramm, dass in Bild 6.3 reproduziert ist.



- 1. Sensitive, fine grained
- 2. Organic soils peats
- 3. Clays silty clay to clay
- 4. Silt mixtures clayey silt to silty clay
- 5. Sand mixtures silty sand to sandy silt
- 6. Sands clean sand to silty sand
- 7. Gravelly sand to dense sand
- 8. Very stiff sand to clayey sand*
- 9. Very stiff, fine grained*

*Heavily overconsolidated or cemented

Diagramm zur Einstufung des Bodentyps aus den Ergebnissen einer Drucksondierung, nach Bild 6.3: [L2]

Da die Beziehung zwischen Verflüssigungswiderstand CRR und normalisiertem Spitzendruckwiderstand nur für reine Sande in Bild 6.2 gegeben ist, muss berücksichtigt werden, dass Sand-Schluff-Gemische einen höheren Verflüssigungswiderstand haben als reine Sande. Der für einen reinen Sand äquivalente normalisierte Spitzendruckwiderstand ergibt sich nach

Geb. 12.6 mit AVR-Behälterlager, FZ Jülich

$$(q_{c1N})_{cs} = K_c \cdot q_{c1N} \tag{6-6}$$

Der Korrekturfaktor K_c hängt von der Bodenart ab, und wird in einem iterativen Verfahren aus dem gemessenen Spitzendruck und der Mantelreibung der CPT-Sondierung ermittelt.

Der Korrekturfaktor K_{σ} in GI. (6-1) berücksichtigt, dass mit zunehmendem Überlagerungsdruck der Widerstand gegen Bodenverflüssigung abnimmt. Die in [L2] empfohlene Beziehung zwischen effektiver Spannung und K_{σ} ist in Bild 6.4 reproduziert.

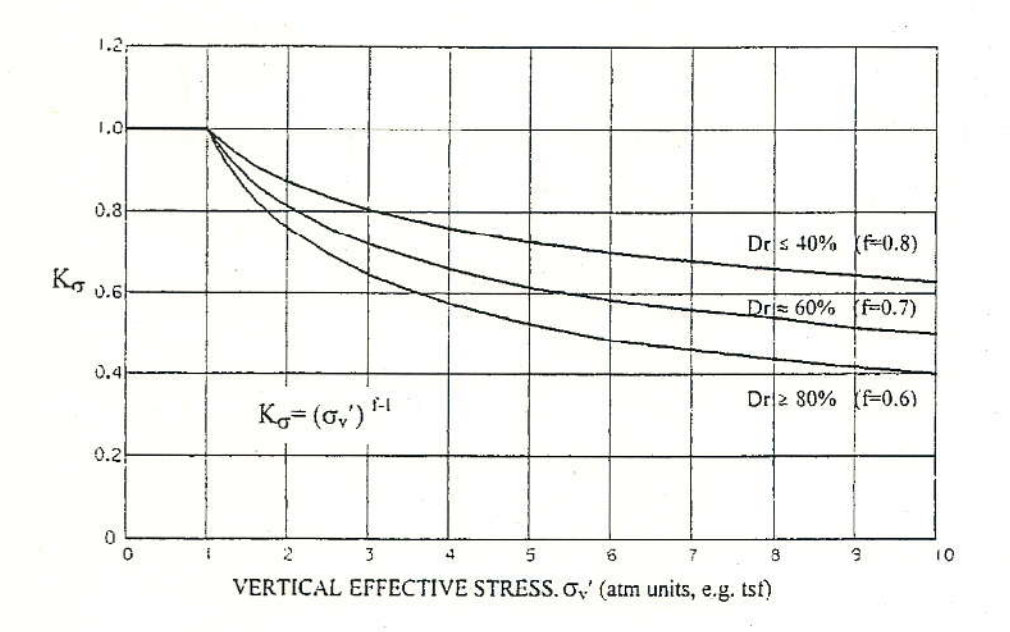


Bild 6.4: Empfohlene Beziehung zwischen effektiver Spannung und Korrekturfaktor K_σ zur Berücksichtigung eines hohen Überlagerungsdruckes nach [L2]

Der Korrekturfaktor K_{α} in Gl. (6-1) berücksichtigt den Einfluss von statischen horizontalen Schubspannungen. Es wird jedoch in [L2] empfohlen, diese Korrektur im Regelfall nicht anzuwenden. In den nachfolgenden Berechnungen wird daher $K_{\alpha} \equiv 1$ verwendet.

6.2 UMFANG DER NACHWEISE

Der Nachweis erfolgt für die Drucksondierungen CPTU 1, CPT 2B mit CPTU 2C, und CPT 3 mit CPTU 3A.

Der Nachweis wird über die gesamte Tiefe der jeweiligen Sondierungen in Schrittweiten von 2 cm geführt.

Geb. 12.6 mit AVR-Behälterlager, FZ Jülich

6.3 BESCHRÄNKUNGEN DES VERFAHRENS

Im Verfahren nach NCEER-Workshop [L2] wird auf dem Spitzenwiderstand und der Mantelreibung an der Sonde auf den Bodentyp geschlossen. In der Beschreibung des Verfahrens in [L2] wird diese Prozedur jedoch nur als "rough estimate of soil type and fine contents" bezeichnet. Es ist daher stets ein Vergleich zwischen der Einschätzung des Bodentypes nach [L2] und der Ansprache der Bodenproben aus den Rammkernbohrungen durchzuführen. Bei offensichtlichen Fehleinschätzungen des Bodentyps aus den Sondierergebnissen ist eine manuelle Korrektur notwendig.

Eine präzise Ermittlung des Bodentyps aus den Sonderergebnissen wäre nur möglich, wenn vorab sehr aufwändige Kalibrierversuche der Drucksondierung mit den in-situ vorliegenden Böden durchgeführt werden würden.

6.4 GRAFISCHE DARSTELLUNG DER SICHERHEIT GEGEN BODENVERFLÜSSIGUNG

Die folgenden Grafiken zeigen die Sicherheit gegen Bodenverflüssigung über die Tiefe. Farbig markierte Tiefenbereiche am linken Rand zeigen an, dass keine Aussagen möglich waren, weil keine Sondierergebnisse vorlagen. Die mit einem Kreuz markierten Tiefenbereiche zeigen die automatisiert ermittelte Sicherheit gegen Bodenverflüssigung an.

Zur Erhöhung der Lesbarkeit der Diagramme wurde den Tiefenkoordinaten, für die eine Sicherheit gegen Bodenverflüssigung FS > 3 ermittelt wurde, der Wert FS = 3 zugewiesen. Tiefenkoordinaten, bei denen aufgrund des Reibungsverhältnisses während der Drucksondierung eine Verflüssigung ausgeschlossen werden kann, wurde ebenfalls die Sicherheit FS = 3 zugewiesen.

Die jeweils rechts neben den Diagrammen zur Bodenverflüssigungsgefahr dargestellten Schichtenprofile sind dem Bericht [U1] entnommen.

Geb. 12.6 mit AVR-Behälterlager, FZ Jülich

6.4.1 Sondierung CPTU 1

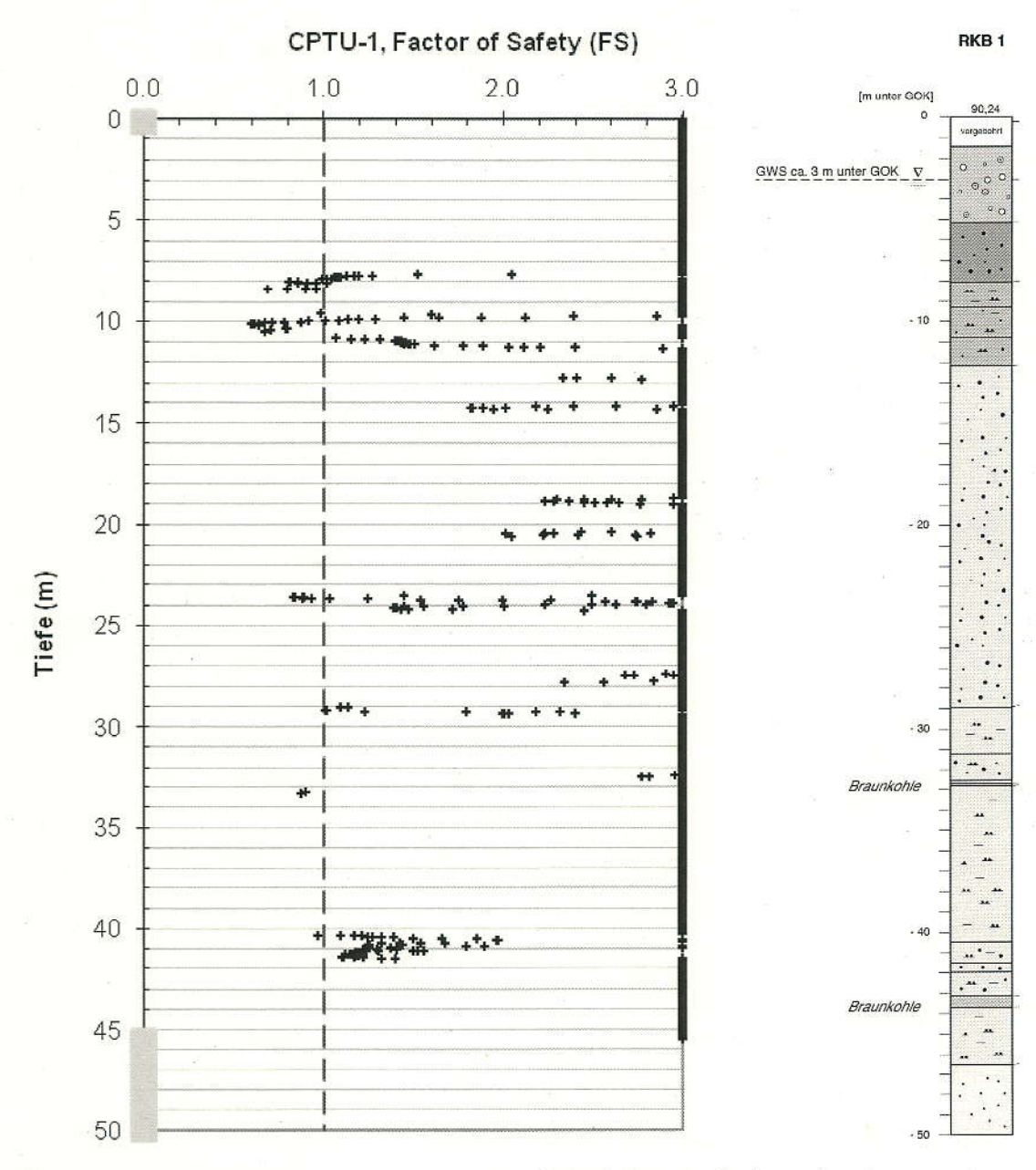


Bild 6.5: Grafische Darstellung der rechnerischen Sicherheit gegen Bodenverflüssigung nach NCEER-Workshop [L2] für Sondierung CPTU1

Geb. 12.6 mit AVR-Behälterlager, FZ Jülich

6.4.2 Sondierung CPT 2B mit CPTU 2C

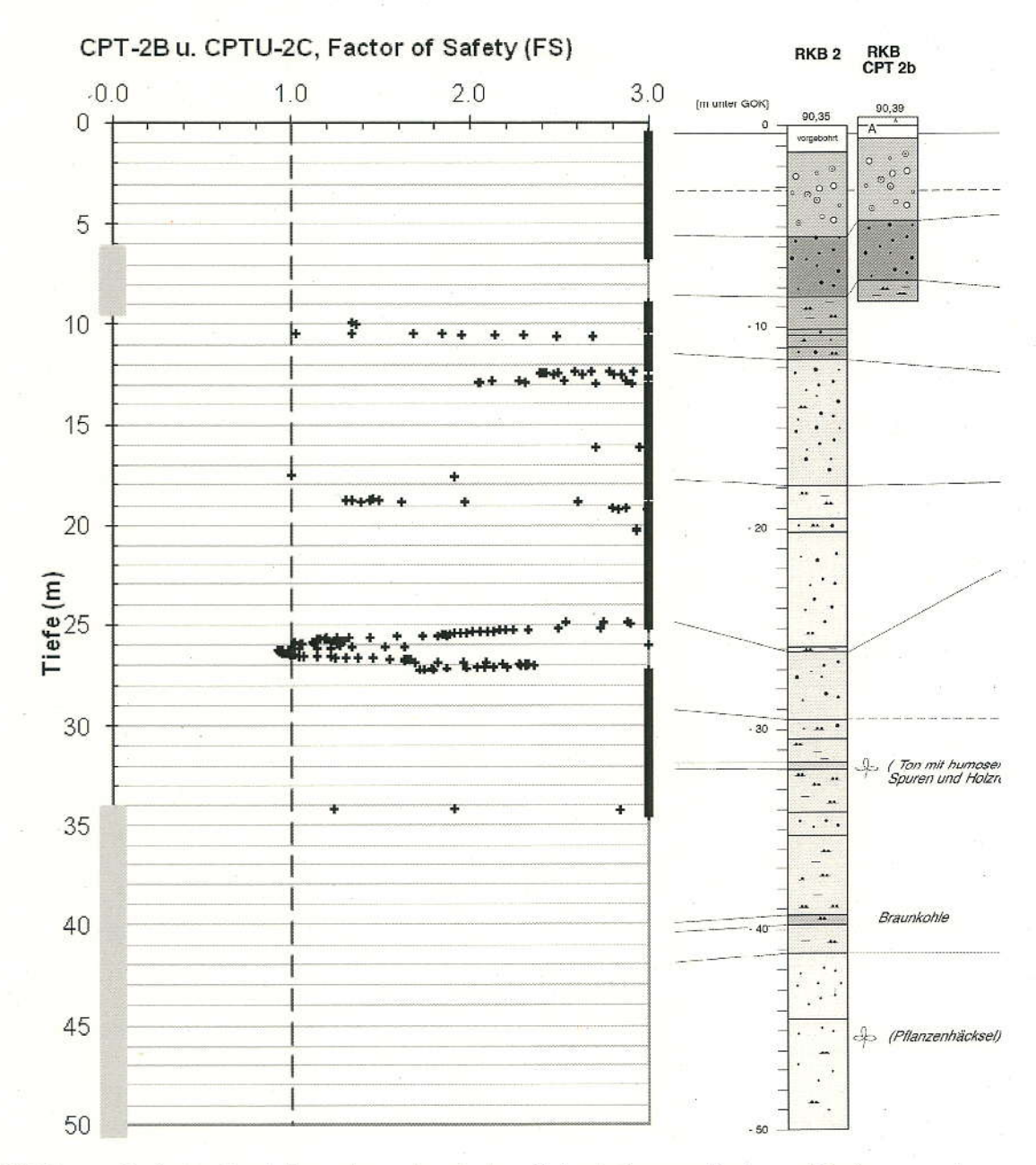


Bild 6.6: Grafische Darstellung der rechnerischen Sicherheit gegen Bodenverflüssigung nach NCEER-Workshop [L2] für Sondierung CPT 2B mit CPTU 2C

6.4.3 Sondierung CPT 3 mit CPTU 3A

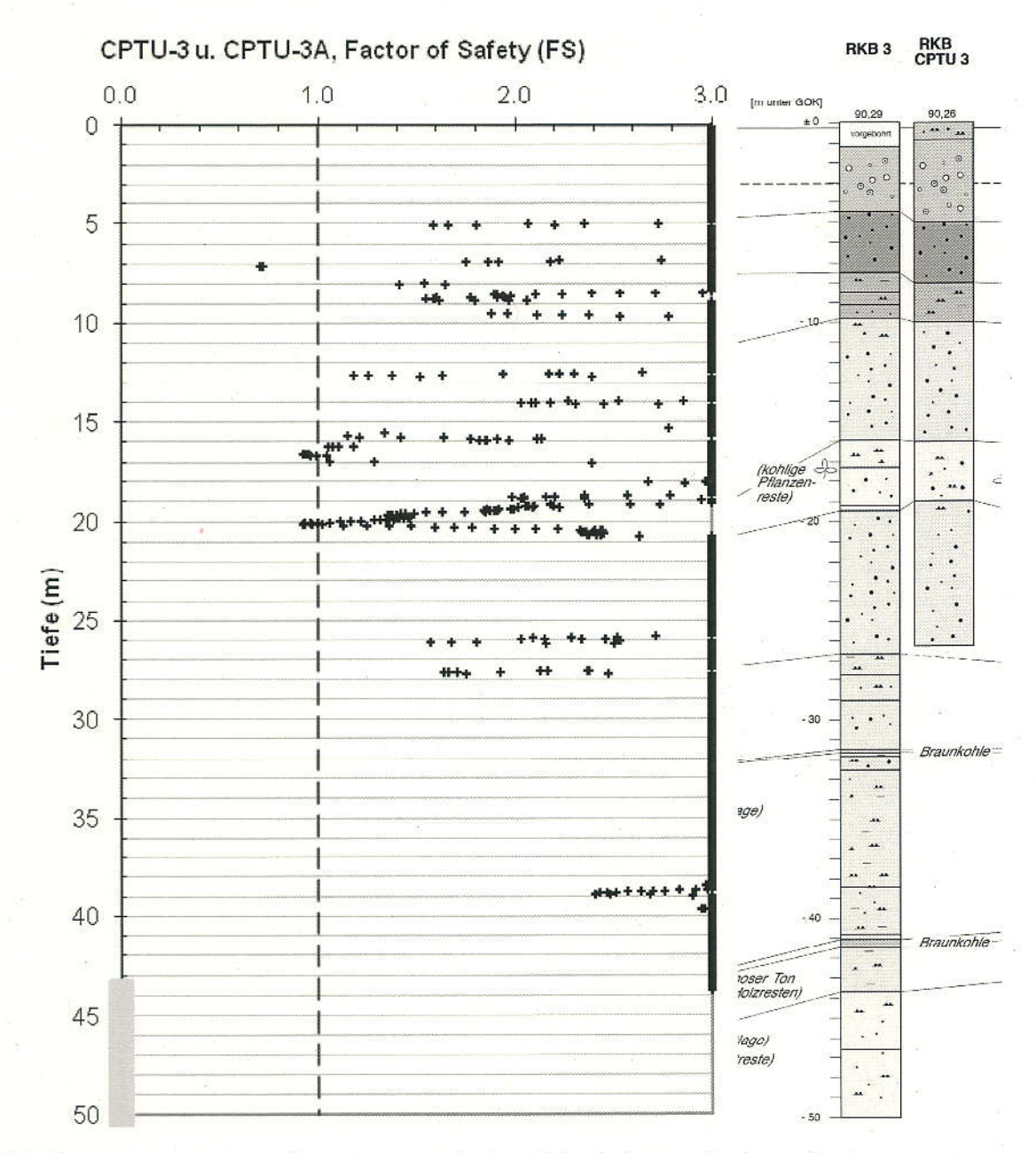


Bild 6.7: Grafische Darstellung der rechnerischen Sicherheit gegen Bodenverflüssigung nach NCEER-Workshop [L2] für Sondierung CPT 3 mit CPTU 3A

Geb. 12.6 mit AVR-Behälterlager, FZ Jülich

6.5 ZUSAMMENFASSUNG DER ERGEBNISSE NACH NCEER-WORKSHOP

Aus den detaillierten Ergebnissen in Anlage B sind folgende Schlüsse zu ziehen:

- a) Im Tiefenbereich zwischen ca. 7,50 m und 9,00 m bei CPT1U und zwischen 7,50 m und 8,00 m bei CPTU3 ergibt sich eine Sicherheit gegen Bodenverflüssigung FS < 1. Da in diesem Bereich jedoch die Auswertung des Bodentyps aus den Sondierergebnissen und die Bodenansprache zu widersprüchlichen Aussagen führen, sind nähere Untersuchungen erforderlich, um Bodenverflüssigung ausschließen zu können.
- b) Im Tiefenbereich zwischen ca. 9,50 m und 11,00 m ergeben sich über einen größeren Bereich eine Sicherheit gegen Bodenverflüssigung FS < 1. In diesem Bereich muss daher insbesondere im Gebiet um den Ort der Sondierungen CPTU1 und CPTU2C mit einer Bodenverflüssigung unter den hier angenommenen seismischen, hydrologischen und geologischen Randbedingungen gerechnet werden.</p>
- c) An den Übergangsbereichen von der Älteren Hauptterasse (Horizont 14) auf die Tegelen-Formation (Horizont 13) und weiter am Übergang der Tegelen-Formation auf den Prätegelen-Horizont (12) ergeben sich bei den Sondierungen CPTU2 und CPTU3 ebenfalls Sicherheiten gegen Bodenverflüssigung FS < 1. Bei Sondierung CPTU2 finden sich diese Bänder in 17,00 m bis 18,00 m bzw. 25,00 m bis 27,00 m Tiefe, und bei Sondierung CPTU3 in 16,00 m bis 20,50 m. Dasselbe Phänomen findet sich bei Sondierung CPTU1, bei der die Tegelen-Formation erodiert ist, in einer Tiefe von ca. 24 m, so dass hier Reste der Tegelen-Formation vorliegen könnten. Teilweise liegen widersprüchliche Ergebnisse zwischen Drucksondierergebnissen und Bodenansprache vor, aber überwiegend muss festgestellt werden, dass eine Verflüssigung in diesen Bereichen nicht vollständig ausgeschlossen werden kann.
- d) An einzelnen Stellen finden sich Bereiche, bei denen sich rechnerisch eine Sicherheit gegen Bodenverflüssigung FS < 1 in tertiären Bodenschichten, die am Gebäude 12.6 unterhalb einer Tiefe von ca. 29,00 m anstehen, ergibt. Nach [L2], S. 829, sind tertiäre Bodenschichten aufgrund ihres hohen Alters im Allgemeinen immun gegen Bodenverflüssigung.

Geb. 12.6 mit AVR-Behälterlager, FZ Jülich

7 UNTERSCHRIFTEN

Für Rückfragen zum vorstehenden Bericht stehen wir Ihnen gerne zur Verfügung.

Bearbeiter

W. Solepas

Dipl.-Ing. Winfried Schepers

M. Sc. Kostas Grivas

Sachverständiger

Univ.-Prof. Dr.-Ing. S. Savidis

(facili)

Geb. 12.6 mit AVR-Behälterlager, FZ Jülich

Anlagenverzeichnis

Anlage A	Detailergebnisse des Nachweises nach KTA 2201.2	45
Anlage B	Ergebnisdetails des Nachweises nach NCEER-Workshop	49

Geb. 12.6 mit AVR-Behälterlager, FZ Jülich

ANLAGE A DETAILERGEBNISSE DES NACHWEISES NACH KTA 2201.2

	STORE OF THE PERSON AND ADDRESS OF THE PERSO	
	NICE OF COLUMN	
1	֡	

																	9																																																								
Z	T	1.14	1 1	1.02	-	1 1	0.39	0,41	0.47	0.43	0.94	16.0	0.98	0.97	1.31	0.99	0.99	1.33	1,35	1,42	1,41	1,47	12	1,49	1.57	1.63	1.23	1,63	1.43	1.0	1.51	1.11	1,51	1.72	1.74	1,32	1.75	1.77	1.73	1,33	0.33	t	1.93	1,93	1.83	1.43	1.53	1	125	1	1		1			1 5	97	133	1,51	ı	0.99	1,52	673		87		а	0.14	0.14	0,14	0.14	0.16	0.0019
FS Zone 2	Œ	0.85	1 1	0.77	1	1 1	0.39	0.44	0.42	0.49	0.84	0.94	980	0.97	680	680	683	101	102	1.07	1.08	111	1.14	1.13	1,19	1.23	123	1.26	113	1.13	1.14	1,14	1.16	1.30	1.32	132	133	1.34	1,34	1.03	021	ı	1,44	1,45	1,48	1.48	1.50	1	0.91	1	1	1	1	1 1	1	1 8	1.03	250	1.14	1	280	1,62	0.40	1 3	1.00	11	1	603	0.03	0.03	0.03	000	2000
FS Zone 1	н	1,14	1 1	201	1	1 1	0.56	0.62	090	0.00	1.25	100	120	1.20	131	131	1.35	8 8	1.36	1.42	1,41	1.67	201	1.45	1.57	1.63	1.63	9 8	8 8	180	1,51	151	101	1.72	174	174	176	1.77	1.78	138	0.38	1	130	20,7	1.88	8.65	1,98	1 5	123	1	1	1	1	1 1	1	1 5	1,40	133	2	1	135	2,01	990	1 :	9	l I	1	0.14	0.14	0.14	0.14	0.14	10.10
Zans 2	+	0.28	1 1	0.259	now I	1 1	0.51	97.0	0.01	0.139	0.20	0.26	0.20	0.20	0.28	0.20	0.28	0.28	0.258	0.270	0.28	920	0.20	0.347	0.28	0.250	0.28	878	0.20	0.26	0.226	0.28	0.226	820	0.28	0.28	020	0.78	0.28	0.197	0,040	1	0.26	0,758	0.28	95.0	0,758	1	0.134	1	1	1	1	1 1	1	1 0000	28.00	0.50	0.74	,	0.48	0,226	0.059	1	200	1 1	1	0.004	0.004	1000	0.004	N.O.O.	C. C. C.
Zone 1	-	0.342	1 1	0.342	-	1 1	0.171	0,150	0.130	0.193	0.342	0.342	0.342	0.342	0.342	0.342	0.342	0.342	0.342	0.357	0.342	0.342	2942	0.327	0.342	0.342	0,342	0.342	0.300	0.300	0,300	0300	0.300	0.342	0.342	0.342	0.342	0.342	0.342	0.263	0.072	ı	0.342	0.342	0.342	0.342	0.342	1 000	0.210	1		1	1	1 1	1	1 000	0.221	0.205	0,235	1	0.202	0,300	0,057	1	0.271	es Est	1	0750	0.020	0.020	0000	0.020	0.000
le ma	+	EE		12.2	12	, ,	40	G C	2.9	12	12		3 5	22	2 2		7.5	2 2	1,1	22	2	12		8	- 22	12		3.6	8	8	9	99	8 6	2 2	12			E	2	7	13	1 7	-	-	7.5		-	1	507	43	2		or a	1 0			10 00	2 9	15	,	132	68	30		9		,	9	0	0	0 0	0 0	07000
23	130	6.9	62	un o	3.5				- 19	2.0	36	170	27.6	6.5	326	123	60	2.0	3.4	1.8	97	37	20	2.5	225	172	300	977	1111	27.7	1,5	2.4		2.5	12	1	07 (7)	2.6	2.4	2.3	3.6		1			20	2.6											16.0			580	601	4.0	,					1.0	25	67	47	
4.0	0	2000	0			1	370	233	3.1	1.0	10000		100	13																		3				1		0.00		47	-54		1						1.0	3.8	4.6			4.3			200	24.2	4.6		59.5	17.3	4.4		53				2				1
max 1.) o.,		0.30	0.31	0,33	0.34	0.33	0.31	0,29	0.29	0.25	0.27	0.27	0.27	0.27	0,26	0.26	0,25	0.26	0.25	0.25	0.24	0.23	023	0.22	322	921	921	d'an	0.20	0.20	0.20	0.20	0.20	0.20	0.20	020	0.19	0.19	91.0	0.19	0.19	61.0	0.18	0.18	0.16	0.17	0,17	0.17	0.17	0.17	0.17	0.16	910	0.16	0.15	0.16	0.16	0.15	0.15	0.15	0.15	0.15	0.15	0.15	6.15	0.14	0.14	0.14	0,14	0.14	0.14	0.14	200
max r m	_	19.81	21.45	32.67	35.80	44.48	46,24	49,47	50.10	50.64	51.86	51.96	52.81	52.50	54,03	54.07	54.20	26,02	56.92	57.48	58.78	58.63	60.67	61.19	61.52	62.74	62.74	27.23	97.19	62.29	66.83	69.63	25.20	68.15	67.08	60.08	CE 25	66.24	25.52	70.94	71.65	72.50	74.32	75.03	75.50	77.58	78.34	78.65	90.25	90'09	01.73	83.68	98'89	60.00	64.77	67.72	68.38	52.55	94.86	10.00	3 2 2	59.21	101.64	103.19	103.97	10166	109.28	111.55	113.37	118.21	117.81	119.40	120.00
max a		0,230	6230	0230	0,230	0,230	6230	0230	0.230	0.233	0,230	6230	0230	0(230	0,230	0.230	0220	0,230	0,200	0000	0220	0220	0.230	0(2)0	0,230	0000	0.330	0.230	0.000	0,230	0.000	0220	0220	0520	0.50	0230	3237	0.230	5729	9.236	0230	0.230	0.230	1020	0.270	0220	0230	0.233	900	0.230	0220	0.230	(629)	0230	0330	0.030	0.250	0.230	0.250	0.030	0.235	0.230	30203	8730	323	020	0.20	0,230	(623)	6230	0000	0000	No.
r _o (KTA)	-	0.96	0.96	98'0	0.54	0.93	0.91	0,85	0.89	0.69	0.87	0,87	0.66	0.86	0.85	0.65	0.65	262	0.80	0.78	0.74	0.70	0.65	0.64	0.63	0,60	0.60	600	1670	0.56	0.55	0.55	250	628	0.54	0.54	0.53	0.52	0.52	0.51	0.51	0.51	050	0.50	0.50	950	0.50	0.50	050	0.50	0,50	0.50	050	888	0.50	0.50	820	200	0.50	98	0,50	0.50	0.50	0.50	050	0.50	0.50	0.50	0.50	0.50	950	050	N. Sec.
100		67.3	70.3	97.8	113.6	134.0	149.9	1777	128.7	179.5	0,681	169.9	197.1	158,5	207.1	307.3	87.0	218.1	24.3	228.8	242.1	286.7	378.6	278.7	383,6	5'002	200.5	NB.2	124.7	125.7	331.0	331.0	331.8	333.6	341.6	M1.8	363.0	369.1	3622	372.0	377.2	396.6	6142	412	426.2	447.2	6,43	468.0	4743	461.2	459.1	538.7	521.9	5363	530,9	549.5	5003	5987	621.5	603.5	668.7	682.5	0080	702.6	772.8	761.0	767.0	756.9	906.3	917.6	824.4	831.3	27.7
0.0		58.9	98.6	348,4	178.9	208.5	219.9	240,5	240,8	248.7	258,0	259.8	285.8	257,2	276.7	277.1	278.3	298.2	310.3	319.1	245.1	373,7	200.5	416.6	426.3	457.5	457.6	468.6	4000	508.7	518.9	518.9	5225	524.5	543.1	540.1	0.095	673.9	573.9	5,963	609.2	622.5	846,2	652.4	656,5	674.7	681.2	9779	607.5	703.9	710.7	727.6	738.0	751.4	754.5	762.7	777.2	825.1	624.8	1007	6889	962.7	0.030	857.3	908.5	1.006	6203	870.0	905.8	1010.5	1074.4	1050.3	HENRY I
200		22.6	25.3	50.6	35.3	703	6.65	20.4	28.4	30.2	58.9	6.82	38.7	38.7	18.6	88.8	70.4	30.1	96.0	50.3	0.00	17,0	872	38.0	1.27	.58.0	.58.0	-70.0	30.00	69.0	980	.88.0	88.8	(30.7	198.3	1983	3000	214.8	247.7	127.0	332.0	335.6	132.0	231.0	130.4	728.0	226.4	24.5	23.0	722.7	221.6	216.9	217.1	245.1	214.8	213.3	210.5	208.5	2023	201.6	1882	197.2	153.9	191.7	190.7	184.1	163.2	180.1	180.5	193.0	0'002	207.0	Clau
V. I.		23.7	23.7	23.3	23.0	22.6	22.4	22.0	27.0	27.8	21.6	21.6	21.4	25.4	21.2	21.2	21.2	20.7	20.4	20.2	19.6	18,7	16.2	17.5	17,3	16.4	16.4	16.1	550	151	14.8	14.8	14.8	147	14.3	14.3	13.8	13.5	13.4	12.9	12.7	12.4	11.9	11.6	11.7	13.4	11.2	15.0	10.9	10.6	10.7	10.4	10.2	100	8.8	8.0	95	4 5	0.0	1.0	0.0	6.3	8.0	2.5	97	12	7.3	7.0	63	120	8.5	36	20
- 2	-	24.9%	24.9%	24.6%	24.2%	23.0%	20,5%	27.1%	20.0%	25,0%	27.7%	25.72	27.6%	20.5%	20.3%	22.3%	20.3%	2.8%	2.5%	2:2%	20.5%	19,7%	19.7%	MEN	18.2%	17.3%	11.3%	1.0%	44.74	26.86	15.6%	15.6%	16.6%	14.5%	15.1%	15.1%	14.5%	14.2%	14.1%	13.6%	12.4%	13,1%	12.6%	12.4%	12,3%	11.0%	11.6%	11.6%	11.5%	11.4%	11.3%	10.9%	10.7%	10.5%	37.5%	11,3%	11.1%	200	83%	9.2%	46%	4.6%	808	\$3%	10	27%	1.6%	84.	7.2%	963	18%	67.5	6,00
A	8	St 54	8 8	8	2 32	\$ 8	91	10.1	9. 5	9	99	9	9 18	36	98	199	99	25	150	99	SH	362	50	926	.92	115	35	95	000	58	95	113	200	116	1/6	69	2.5	8	SI !	2 %	8	8	8.8	8	SIS	9 14	36	56	26	9.5	50	26	176	50	911	10	6	3	3	80	6 48	3	98	16	9 8	33	66	36	350	5	115	8 3	100
y bow, y,	g g	E.E	5.5	-53		5 5	31	23			31	5		31			5	5 5		E .		F			12	21	11			77	13	53				17		Ti.	E.	15.	33	12	31	21	E 2	2 2	12	2	17	31	Ε.	2	E.	2 2	12	13	2	N X	, ,	z z	5 2	12	23	12	12	2	21	21	23	62	50	200	0.7
Zaordnung CTA Zuna	W.D2	r.c	p		0	0,0	000	ru i	24.0		14	65.3	2			4 54	:55)		-				-				64		,			eu.	- -		e e	cit			-	-	-	5			-	14.7	1 7	0		2	G e	c	0	di G	0	0				0	2 2	3	~	0	11 5	a to	2	47		-			-
KTAZone	-10	25.72	je y	28	3.5	15 %	500	210	2 2 2 2 2	18.0	102	× 50	758	20.22	25.00	2 23	8 (8	197	22.2	3.5	2,0	\$ E	200	*	7.4	7.00	10.8	0 0 7	2 3 3	200	20.00	8	977	2 6 0	1.00	19.2	2 2	25.00	40	0 16	1.0	25	2 40	10.5	6	575	22	200	100	<i>3</i> 7 7 7 7 7 7 7 7 7 7 7 7 7 7 7 7 7 7 7	+0.	2 27	#.	200	2.4	χ ² :-	50	22.75	38.	18 G	ie it	72.72	308	N.S	869	200	21.5	212	2.5	18	100	2. 4 2. 4	3.0
Antell KT.	1.00	57.55	22.5	473	313	37.8	4.61	10 %	20.20	18.0	× 16	8 8	4 77 78 78 78 78 78 78 78 78 78 78 78 78	15 80 12	10 10	2 15	2.00	2 12 12	91.75	97.8	898	3 H.	47.16 00 to	10.00	914	*12	100 %	513	2 4 6	3.99	169.8	400 ks	33.60	2 25 25	33.00	100%	10.00	ŭ.	27.75	27.50	3 12	27	2 2 2	* 03	4 5	v 2	15 S	g: -	200	30.8	£ 31	2.8	t- 2	8 15	13%	2.00	12.00	2 2 2	* *	40.	e 15	2.33	13	5.0	8 55	2 %	100	2.15	8.98	9			
Obere	Zone 1	202	23.50	* 3	e st	1003	10%	5,001	5,001	1001	100 %	35 (41)	400.8	100 %	200	100.0	%(CI	100%	22	16.00	198	38.8	382	18	92.9	582	100 %	51.5	100 %	2 20	100 %	8 001	100%	2 2 2	8 8	100.8	100%	27.55	94 %	11.8	2.5	700%	400 %	100.9	1003	450	1882	100 %	100 %	100 %	400.2	100 %	100 %	100 W	100 %	7, (6)1	484	2 A. A.	1003	1,001	2007	25.76	1001	100 %	200	300	\$ 331	1000 %	8.35	95.30		200	
Obere	Zone 2	27.50	Ig S	2 2	4.5	100%	N 003	50.8	# # # # # #	100	858	39.8	2 2 3	2,98	28	2 20	5.03	20.00	28.%	5.5	F 15 77	5.01	40	3.5	15.5	12.5	2000	22	200	1 1/2	30%	95.6	222	103	2.85	30.8	200	6.5	18.00	2 15 15	200	66.50	100.00	N SE	8 88	NUN	2 50	fre N	100.5	100.5	5 001	2002	1003	800	30%	2,03	25.000	28.20	130 %	185 %	2001	* 8	25 N	5.00	8.82	25.75	88.9	8,00%	10.0	200	58.24	2.0	SCONE DECO
Untere	Zone 2	3.8	350	2.3	2%	8 8 8 8 8	10%	10.00	25.00	10 %	16.5	15	2.20	50.02	10 N	S 15 15	2,23	4.	3.8	7.8	2 2 7	2.5%	2.8	36	3.8	2.5%	1.35	13	23	200	2.8	7,6	84	800	1.80	1.50	15 ×	*	26.00	0 22	1.50	25.50	300	888	*8	# 22 P	250	25.4%	67.5	T.	% 23	0 SE	25 (A)	8.08	3	2,00	57.75	200	76.5	×91	22.5	10元	3.8	40%	10.5	200	4.8	100	200	5.5%	N C	2.3	000000000000000000000000000000000000000
Untere	Zone 1	N 55 %	12.	N.	4.	40.0	17.00	20.5	10%	12.8	5.6	55.开	50	41%	3.5	200	2.5%	100	1.0	187	200	1.50	4	24	. 463	t)	D.5.	20.0		20.0		5.0	100	40	50	550	0.00	5.0	3.0	200	0.00	25.50	55.5	90.6	36.8	1.00	0 10	20.52	200	808	819	388	水魚	4 1 × 10	2 12	78.52	29.57	20.20	26.83	87.65	200	12.50	3.8	816	NO	246	78.9	43.50	3.2	3%	3.8	3.8	3.0
Lifographie	_	Syc	Strat	Napa	Kees / Stord	Salah	Ton	Pardy Softs	Sang/Schill	and/Sorly	Sund	Band	Sand	5305	Sans	Sanci	Band	Sand	\$303	Sans	Sand	Send	Sand	Sand	Bard	Sard	Send	Said	5374	Sand	Sard	Strid	Sard	Sand	Sura	Suns	Sinc	Selec	Sand	Soldid	Scient	Softer	Rsud	Sant	Stand	Sand	58.6	Schil	Sohla	Schie	Scrium	Surlan	Serlet	Ton / Schort	Tay/Salid	Ten / Seller	Schul	School	Scht41/76	School Flor	Schiff/ Tor	See / 5005	Sard	Solls	Schill	Tor Ide	Sester			-	D-	4	
Tiefenzu-	_	9 5	2	8 90	20	75	35	8 000	152	1 8	32	8	100	8	20	10 %	36	000	- 6	2	8 2	00	00	2 0	15	10	30	2	818	2 2	30	10	20.0	10 22	10	63	8.9	22	10.	8 8	53	63	140	197	3.45	123	200	2.5%	180	110	345	3 %	22	18.8	6.85	585	6.65	1741	88	99	8 9	200	8	99	12	2 12	8 8		252	2	5.10	49.40	300

GuD Geotechnik und Dynamik Consult GmbH

d	
?	5
•	٠
$\tilde{\alpha}$	ò
~)
٦.	ī

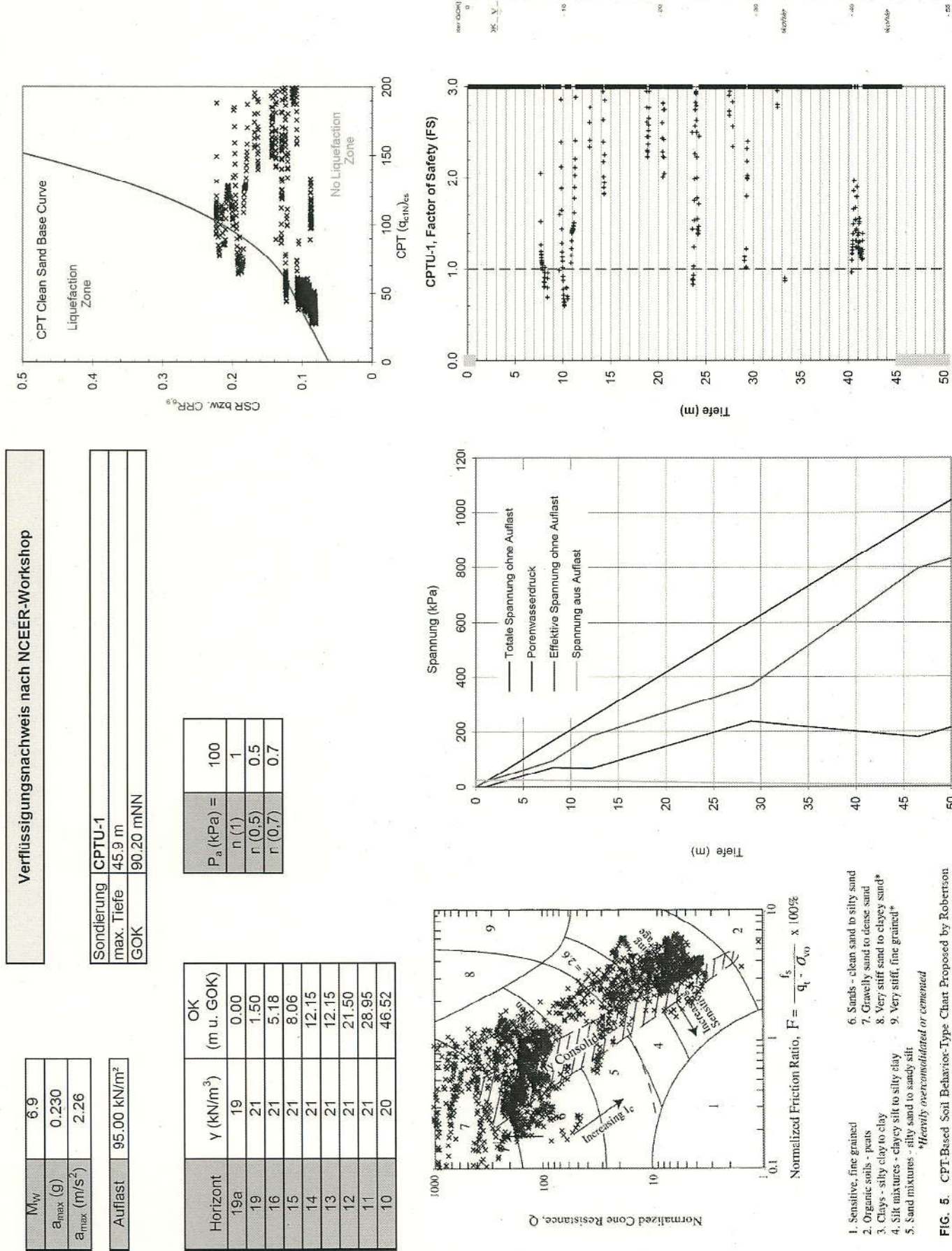
FS		1.32		,	1	0.06	90.0	10.41	100	0.34	1.02	1,04	ı	1,45	1,46	1,48	60'0	60.0	0.09	1	,	1,28	1,29	1	1.77	1,79	1.80	1.85	1.41	1.76	1,33	0.76	0.11	1,70	1.29	0.02	0.00	0.52	0.03	0.03	0,12	0.03	1.70	1.70	2 60	0.13	0.03	0,13	0,13	0.14	0.03	0.03	0.03	ı	0,14	0.03	0.03	0,03	0.03	0.03	20.00	0,15	0.15		
FS Zone 2 El		00.0	1	1	I	0.01	0,01	0.44	100	d'ibe	1.02	1,04	1	1.10	1,10	1.12	0,02	0.02	0.02		ı	1,28	1.29	I	1.34	1.35	1,35	1.40	1.41	1,33	1.33	97.0	0.02	1.23	1,23	20.00	0.03	0.03	0.03	0.03	0.03	0.03	1.70	1.70	0.03	0.03	0.03	0.03	0.03	0.03	0.03	0.03	0,03	1	0.03	0,03	0.03	0,03	0.03	0.00	0.03	0.03	0.03		and the second second
FS Zone 1 EJ		1.38	1	i	1	90'0	90'0	0.50	200	1.24	.35	1,38	1	1.45	1,46	1.48	60'0	600	6.09	1	1	1.70	1.70	1	123	62.1	1.80	28.	1.88	1.76	1.76	1.09	0.11	27	1,71	0.11	0.12	0.12	0.12	0.12	0.12	0,13	126	1756	0.13	0.13	0.13	0.13	6.13	0.14	0.14	0.14	0,14		0.14	0,14	0.14	0.14	0.14	0.13	0,10	0.15	0,15		
nax 1 / σ_0 Zone 2	0000	0.258	1	ı	1	0.004	0.004	0.113	2000	0.247	0.258	0.258	1	0.258	0.258	0.258	0,004	0.004	0.004	1	1	0.258	0,258	ı	0,258	0.258	0.258	0,256	0.258	0.242	0.242	0.137	0.004	0.231	0.231	0.004	0.004	0.004	0.004	0.004	0.004	0,004	0.258	0,258	0.004	0.004	0.004	0.004	0.004	0.004	0.004	0.004	0,004	1	0.004	0,004	0.004	0.004	0.004	0.004	0.00	0.004	0,004		
max 1 / 0 ₆ . Zone 1	0,000	0.342		!	1	0.020	0,020	0.163	0.004	0.327	0.342	0,342	1	0.342	0,342	0.342	0.020	0.020	0.020	1	1	0.342	0.342	1	0,342	0.342	0.342	0,342	0.342	0,320	0.320	0.191	0.020	0.306	0,306	0000	0000	0.020	0.020	0,020	0.020	0.020	0.342	0,342	0.020	0.020	0.020	0.020	0.020	0.020	0.020	0.020	0,020	1	0.020	0,020	0.020	0.020	0,020	0.000	0000	0.020	0,020	49	3 delich
u 55	,	7 7	74	7.1	74	0	0	40	+	60	73	71	71	71	12	77	0	0	0			12	r.	12	71	77	77	77	71	69	68	45	0	8 8	8 0	2 0		2 0	0	0	0	. 0	F 1	77	0 0	0	0	0	0	0 0	0	0	0	0	0	0	0	0	0 0	0 0	2 0		0	D, nach Jandek nack)	sch DiNtuz
7 T	20.0	53.0	45,3	0,14	87	20 174	5.5	46.0	0.00	190.11		3,7	87.8	6.0	4.6	P.5	3,2	2,4	2,7				68,6	23.1	2.0	5.3	2.2	2,6	2.4	4.5	1.5	2.0	40.0		\$72	9.6								20	270	97		1.1	4.0	. 60	25	52	2,6		-				,		15		-	D, n	9
qe [MPa]	1							24.	8.70			7						3.0				*										11.6	311.6																1						35	1	114	1		1		H			
max + / σ ₀ *	000	0.26	0.29	0.29	0.31	0.31	0,31	26.0	0.00	0.00	0.23	0.25	0.24	0.23	0,23	0.23	0.22	0.22	0.21	0.21	0.21	0.20	0.20	0.20	0.19	0.19	0.19	0,18	0.18	0.18	0.18	0.18	0.18	0.18	0,18	0.10	0.17	0.17	0.16	0.16	0.16	0.15	0.15	0.15	0.15	0.15	0,15	0.15	0.15	0.15	0.15	0.14	0.14	0.14	0.14	0.14	0.14	0.14	0.14	0.14	0.13	0.14	0,14		
max r ma [teVm²]		07 J	25.92	24.60	X.75	36.22	35,18	46.47	10.00	16.31	16,97	06'31	80,58	52,68	51,92	54.47	55.65	26,92	E.41	57.08	57.26	57.80	57.87	38.43	36,32	26.67	30,13	21,77	22.22	32.20	22.51	30.06	22.88	34.60	24.98	75.00 36.16	200	77.68	27.78	72,90	74.67	77.44	75,66	25.00	31.83	52,03	32,32	32,94	K.39	27.73	96.96	36.50	38.77	35.57	35,33	95 %	32.22	50.05	X X	27.90	25,122	106.04	07,32		
max a r [9]	+	0.215	H	-	H			H	+	+	+		_							H	0.216					H		H	-		-	-	+	+	+	+	-	H		-	H		+	-	+	+		Н	+	0210	+	╁			V6/	+	0.215	+	+	+	+	t	0,215 1		
r ₀ (KTA) r	-	+	-		H				1	+	+		-			H	H			H							de la						+			-	+	-		-					-	-			1			-	035		130	+	-	+	+	-	+	0.50			
op. I	+	+	-	-	H		H	-	+	+	+	-	-			H	H		H	-	-			-	_			H	-	_	-	-	+	+	+	+	H	+	-	H		-	+	+	+	1		H	+	+		H	-			+	-	4		-	+	784.5			
σ ₀ (kt/t/m²)	+	+	╀	-	H		H	H		+	+	+			Н	H	H	H	H	-	H			H		-		H		74	-	-	+	+	+	+	+	+	-	H	H	Si	+	+	+	+	H	Н	+	+		H			100	+	1		+		+	986.4			
u (kN/m²)		15.0	30.0	34.0	49.0	63.0	69,5	AR 5	200	00.1	67.6	67.6	67.4	85,9	87.9	92.9	106.9	110.9	118,9	130,4	133.4	141.9	142.9	150.9	1619	1659	170.9	186.9	1909	199.4	202.0	204.9	204.9	210.9	213.9	2376	2308	229.4	226.3	226.1	223.4	219.3	216.0	218.0	212.7	212.4	212.0	211.1	210,4	207.0	207.0	206.8	202.4	201.2	195,6	192.1	190,4	189.1	187.1	100.4	1923	201.9	9702		
l.v (fm/bbl)	200	23.7	23.6	23.6	23.3	23.0	22.8	22.1	24.0	817	21,6	21.4	21.3	20.3	20.2	20.0	19.2	19.0	18,5	17.9	17.7	17.3	17.2	16.8	16.2	15,9	15.7	14.6	14,6	14.2	14,1	13.9	13.9	13.7	13.5	12.4	11.0	11.8	11.4	11.3	11.0	10.6	10.2	10.2	9.9	8,6	9.8	5,7	9.6	a en	8.3	9.2	8.9	8.8	8,3	9.0	7.9	7.8	7,6	7.0	7.3	6.4	6,3		
- 22	200.00	25.0%	24.9%	24.8%	24.6%	24.2%	24,0%	23.3%	23.00	23,078	22.7%	22,5%	22,4%	21,4%	21,3%	21,0%	20.2%	20.0%	19.5%	18,8%	18,7%	18.2%	18,1%	17.6%	17.0%	16,8%	16.5%	15,6%	15,4%	15.0%	14,8%	14.7%	14.7%	14.4%	14.2%	13.1%	12.5%	12.4%	12.0%	11.9%	11.6%	11.1%	10.7%	10.7%	10.4%	10,3%	10.3%	10,2%	10.1%	10.0%	28%	9,7%	9.3%	9.2%	8.7%	8.4%	8,3%	8.2%	8,0%	7.7%	7.58	6.7%	6,6%		
V [ballm²]	88	8 8	38	96	8	95	58	160	1 5	9 10	S	93	66	8	98	98	8	8	38	98	18	98	98	8	8	8	96	58	163	36	96	192	S	8 8	8 8	1 8	8	S	193	88	8	98	88	\$ 8	8 8	8	26	93	98 18	8 8	58	38	193	96	548	28	88	8 5	9 8	9 8	8 10	88	56		
y bzw. yr [kell/m²]	19	24	51	21	21	21	21	24		77	21	21	21	21	21	21	21	21	54	21	51	21	21	21	21	21	21	21	21	21	21	21	21	52	21	20 00	21	7	21	21	21	21	2	2 2	5 2	2	21	ħ	22	7 2	2	12	23	21	21	8	8	8	R	8 8	3 8	8 8	20		
Zuordnung KTA-Zone	% 09		0	0	0	1	+	0		7	**	13	0	- 1	1	-	1	1	+	0	0		44	13	1	1	1	75	2	1	26	2	-	- 0	N P	2 +	6	-	2	51	Ŧ	2		C-1 -	- 2	-	2	4	-	- 6	1 7	2	çı	0	1	2	77	2	70 1	4 7		2 5			
	30	2 2 2 2	28.6	2 %	1.55	200	32	16.00	200	20.00	*	gt. (2)	14 35	20 %	10 %	4 55	12 %	お供	32	25%	95.0	87.%	86 89 86 89	35.15	3.86	% 04	25.00	17.36	20 00	24.95	50.56	20 I E	38.4	# X 3	81 8 8 18	30.00		25.00	51 %	* 3	40.89	* 83	74%	# E	2 10	35.0	9, 59	32 GF	41 %	87.8	74.55	9, 10	94 98	24.50	38 %	92.6	84.50	39.%	3.00	200	2008	12.%	- % 82		
Anteil KTA-Zone	85	25 00	25.%	24.55	38.88	2,16	89 S	01 %	200	07 HO	83.2	85.58	37.%	% 06	25.55	% 06	25.50	55.86	93.5%	50.05	17.52	72%	36.5%	46 %	35 001	95.68	54,95	25, 26	888	92.6%	56.55	% 96	. 5.	67.75	26.65	20 cc	38.8	25.55	25.5	70.07	25.53	80 %	F2 %	3º 30	# 14 # 18	80 88	8 86 8 86	100 %	% 96 ×	100 %	160 %	100 S	8 001	31.25	54.%	97.46	88.50	25 %	25.00	8 8 8	8 8 8	8 88	74.55		
Obere Grenze Zone I	100	21,2 70 AR 92,	26 %	25%	36 %	25.76	89.24	25 000 50	1001	1001 ×	100 ×	100 %	38.%	81%	93.6	% 05	97.1%	588	94 %	100 %	3,001	3000	100 %	46 %	100 %	% 68	26.85	87.78	56.6%	95.98	\$6.5%	36.22	100 %	58.50	25 PM	20.00	200	100 %	180 %	% 001	100 %	100 %	88.8	8° 8	100 N	100 %	% SIS %	100%	100 N	8 8	100.3	100.8	% (SO) %	100.4	100.4	100 t	100 %	100 %	* 4	NO.N	1002	189	100 %		- Constitution of the Cons
Obere Grenze Zone 2	20.000	33.50	10.50	25.00	2%	2,0	7.26	00 %	20 00	21.75	5.66	22.55	17.55	22 %	12.55	4 %	14.55	25 %	7%	100 %	100 %	26.00	85 %	4 %	4.8	12.%	25.	18.35	* 8	18.8	54.55	E 25	100 %	88 1	18 S	8 8	100 6	100%	100 %	100 %	100 %	33.00	62 %	3,00	5 2	35 60	21.8	2005	\$ T	8 8 8	se	85.8	88.88	12	100 %	25 CO)	58.55	7,05	50%	20.00	100.5	22.2	35 BB		distance and the second
Untere Grenze Zone 2		2 2 2	B.%	2.7	70 1-	200	% 0	70 24	200	17.00	28 %	31/6	200	2%	37.00	% 0	2.80	35 0	2 %	75 %	100.5	42%	16 %	1.36	1.36	2 %	1.8	1.50	1.76	98.1	2.20	1.56	45 %	18 10	1.50	200	48 %	2 5	% GP	42 %	35 DO	40 %	8 %	% %	1.4	100	55.80	*	3 %	38 35 80 T	of T	8.7	- X	75 %	27.15	3.88	9.9	10 %	N 0:	10 M	2 3 1	40%	22.22		
Uniere Grenze Zone 1		7. 3	36.1	26.3	%0	950	0.36	20.00	6 0	2	37.36	126	1.86	1.00	28.1	9/0	25.5	93,0	1,5%	* 8	83 %	Z8 %	12.%	%0	950	2,0	950	9,0	9,0	%0	S.	%0	37.36		50	8 8 6	26.80	2 55	25%	21 %					4.8	84	8.0	676	1.30	10 to 10 to	38.0	¥.0	28.3	20 %	46 %	50 E	+25	15.0	27.0	# 20 N	e a	6, 85	8		
Litographie (CPT)	Kles	Kine	Signs	Kles	Rios	4	e	Boddoff & Tony	Scritten 1 test	Sand	Sand	Sand	Sand	Kies / Sand	Kies / Sand	Kees / Sand	Soldulf / Tort	Schluff / Ton	Schluff / Ton	Schluff	Schluff / Sand	Sard	Sand	Sand	Sand	Sard	Sard	Sand	Sand	Sand	Sand	Sand / Schluff	Sand / Schut	Sard	Sand	Screen ran	Great of Ton	Schieff Ten	Schloff Ten	Schluff / Ten	Schuff/Sand	Schluff / Sand	Sand	Sartd			4	P-	3		-	c	2	74	2	4	2	2	~ «				c		***************************************
Tiefenzu- ordnung (m u, GOK)	1,00	2.40	1 10	4.50	5.00	7.40	8.29	1		0.0	1.40			Ī			16.10	H		18,45		19,60	19,70	30.50	11,60	22,00	22.50	74,10	24.50	25,35	25.61			T	26.30	t	t			- 5				34.80	1	25.87	36.00	36.28	38,48	35,86	27 (5)	37.86	38.90	39.25	40.95	42,00	42.50	42,59	43.50	27.70	64.50	45,00	49.60		decision and a second

FS FS Zone 2 H H		+	+	0.78 1.03		0.37 0.37							1.04 1.37	- Aller	-	-	1,17 1,17					-	-	1,33				1.37 1.37		+	1.45 1.45		0.03		0.69 0.98		16.0	55.0	1	1.50 1.50		0.03 0,14			0.03 0,14	0,03	CONTRACTOR
FS Zone 1		1	1 00 0	1.03	1	0,53	1.17	1,17	1.19	1.26	1.30	1.34	1.37	1.40	1.48	1.53	1.55	1.61	1.62	1.65	02.1	1.72	47.	127	0,68	1.08	1.80	1.80	1.80	1.84	1.91	0.47	0.13	1	0.98	0.12	1 18	1	1	89	0.14	0.14	0.14	0.14	0,14	0.14	
max 1 / $\sigma_{\rm d}'$ Zone 2 [-]		1	0.00	0.258		0,118	0.258	0.258	0.258	0.258	0,258	0.258	0.258	0.258	0.258	0.258	0.258	0.258	0.258	0,258	0.258	0.258	0.258	0.258	780'0	0.150	0.258	0.258	0.258	0.258	0.258	0.047	9000	1	0,116	0.004	0.146	1	1	0.229	0.004	0,004	0.004	0.004	0.004	0.004	- When
max 1/ σ_0 n Zone 1 El		1	1000	0.342		0,168	0.342	0.342	0.342	0.342	0,342	0.342	0,342	0.342	0.027	0.342	0.342	0.342	0.342	0.342	0.342	0.342	0.342	0.342	0,131	0.206	0,342	0.342	0.342	0.342	0.342	0.081	0.022	1	0,166	0.020	0.202	î	1	0.304	0,020	0,020	0.020	0.020	0.020	0.020	0.00
16. [8]	H	F #	-	71		139	F	7	71	7	71	71	71	-	7 12	1	71	11	71	T.	7	E			81	89	71	F	7	71	71	92		-	ą.	_	. 05	÷		is	. 0	q	0	0	0	۰.	TO SCHOOL STATE OF THE PARTY OF
nΕ		88.7	10.0	0.00		39.6		2,5		1.9	2.5	2.7	2.5	200	1,00	2.6	6.2	100	2.9	00	2.6	12.9	1 10	1.9	2.4	25.0	19.6	0.0	1.7	10.00	2.2	1,9	2.3		6.9	4.3	95.0			87	9.7	6.4	2.5	30.5	-1		- Innered
q _e [MPa]						2,3									570									l	7,2	8,8		1	t			4.0	6.6		2.8	96	6.1	4.6	5.2	50.4	32.4						
maa 1 / 00°		0,31	0.32	0.33	0.33	0,31	0.29	0.29	0.29	0.27	0.26	0.26	0,25	0.24	17.0	0.22	0.22	0.21	0.21	0,21	0.20	0.20	0.20	0,19	0,19	0.19	0,19	61.0	0.19	0.19	0.18	0,17	0.17	0.17	0.17	0,17	0.16	0,16	91.16	0,15	0,14	0.14	0.14	0.14	0.14	0.14	4 4 4
max r ma [kWm²]		24.79	-	-			20						58.04	+	ł	-			62.59			+		67.67			-	88.	77.42	-					80.35	.42	3.05	3,02	151	308	7,44						
max a m [9] [63	Н	0,230	1	1	+	H	-	-	-				0,230	+	-	-	0.230			0,230 60	-	+	+	0.220	H	Н	+	+	-	+	-	H	0.230		Н	+	0,230		0.230	+	0,230			0.250	H	0.230 11	
r _o (KTA) mu		1		H	H	H	-	1			H			+	+	-	H	37			-	+	+		-	Н		+	83			0,50 0.	-		Н	+	H	275	-		+	-		H	H	+	
as roll	Н		+	-	-	-	-	-						+	+		H					1	1	+	H		-	+			H	443.0 0.		H	H		H		-	1	+			H			
Go G	Н	+	+	+	H	H	-		-			Н		+			H					+	+	+	H	Н		+		+	-	670.9 44	+	H	Н	-	+		+	+	╀	-	H		-	-	
	Н	+	+	+	-	H	-	-		H	-	Н		+	+	+	H	_	Н	-	+	+	+	+	H	Н		+	+	+	H	Н	+	-	Н	-	+		+	+	+		-		101 5.751	+	
v u n²] [kWm²]		31.2	+	H		H	-	-		H		H			+		H					+	+	-	H	Н		+	+	+	H	5 227.9	t		Н	+	t		+	+	╁		H	H	6.5 197	+	
i.v Ipwm²j	Н	23,6	+	-	L	H		L		L				+	-	-	L	_	Н	_	4	+	+	14.2	H	Н	-	+		-	H	Н	+		95	+	╀		+	+	8 8 8	-					
i [54]	H	1	1			1		T			H				1		r		Н		1	1	+	+	H	Н		+		t	H	12.1%	t	-	Н	T	t		1		t	ľ	İ	П	Ħ	1	
2		SG 18						183		98			58		-	-	8				-	+	+	9 92		83		+	2 8		88		-	98		1	3 193	0.00	182		8 8					19 E	
γ b R		2 2	7 6	21	2	21	21	21	21	21	21	21	21	21	2 6	21	2	21	21	21	21	21	7	2 2	21	21	21	21	21	21	21	21	212	21	21	21	2 2	21	21	2 2	20	20	20	20	8	8 8	
Zuordnung KTA-Zone	80%	9	5	2	0	e.		ei	- 3	ei	G.	ei			4 6		2	ei	2		-				-	ñ	412		-1-2		111	+4		0		er e	2 00	0	6	er e	-		-	Pi	-		
Anteil KTA-Zone	23	8 0	8 3 6	48.8	29	28.55	67 %	28	21.8	26.52	16 %	20.03	31.6	2 22	67.6	27.5	78.55	% 10	24.8	43.85	38 81	10.50	2 .	2 28	3.80	20 %	361 %	8 10	35 SS	89 %	84.8	8	30.8	95.0	13.5	8 2 2	% 85	12%	43.85	79.8	E 12	8-	35.00	8 19	2 52	7.8	
Anteil 1+2+1	4	% P.7	200	76.92	35.07	33	100 %	67.30	25.55	100 %	100 %	88	100 %	8	E S	100 %	87.58	1001%	100 %	38.8%	100 %	80.8	808	8 8	% 001	% 29	36 36	23 65	80 00	20 20	% GB	100 %	100 %	36.98	37.%	97.8	82.%	40 %	24 %	82.98	2 5	150	98 %	65.99	95 35	3F 2	-
Obere Grenze Zone 1		582	200	75.67	100 %	100 %	9,001	100%	100 %	100 %	100 %	% 93	100 %	88 88	20.00	100 %	28	100 %	100 %	88.88	100%	8	88 3	8 8	100%	% 001	100 %	100 %	100 %	8.00	100 %	% O01	10%	160 %	100%	8 031	10.8	100%	93.66	5,03	8.88	36	25 68	35.021	100 %	# S	200.00
Obere Grenze Zone 2	305	11.50	2 2 2	20.00	20.00	. 95 %	25 55	98.98	25.00	% 96	9. 60 9.	52.%	32.8	28 %	95 5 78 80 50	28 %	% 68	92 %	35 %	45 %	20 %	16 %	0.50	84	3 %	100 %	96 98	300 %	\$ 0°	20%	88	F 53	81 00	100 %	55 001	S S	× 50 56	100.75	58.65	100.55	20.8	25	6-8%	93.%	25.4%	8	
Untere Grenze Zone 2		360	* 0	1 0%	70 %	20.8	1.00	16.00	24.85	187	1.90	2%	1%	200	**	207	3R	3-	1%	3.8	2%	9.1	98	6 - 2	0.08	80%	13 %	19%	2%	S 24	5.8	5.75	5 15	190 %	85.88	18.0	43 %	35 %	65%	37.52	A 25 15	28.00	2	32.8	8.39	10.8	
Untere Grenze Zone 1		55.0	8 0	2,0	200	12 %	26.0	**	18.9%	%0	%0	20%	%, c	95.0	W D	0.0	7.7	0.86	9, 0	0.%	80	% O .	8.0	8 8 0	0.00	33%	3.82	8.	8 -	3 2	88	360	R 20 C	37.8	23 W	3.80	13 %	60%	75 %	5.36	1 100	8.0	0.86	18.8	35.61	5%	
Litographie (CPT)	Sand / Kies	Sand / Kless	Sand / Ford	Sport / King	Cand	Schuff	Sand	Sand	Sand	Sand	Sand	Sand	Sand	Sand	SCHIIII	Sand / Schulf	Sand / Schloff	Sand	Sand	Sand	Sand	Sand	Sand	Sand	Schluff	Schluff	Sand	Sand	Sand	Sand	Sand	Schull	SCHOOL STATE	Schäuff	Schluff	Sottloff	Schluff	Sublist	Schluff	Sand / Scaluff	Scalut.		4	4	c	~	
	1.50		1	1	1	9.12	1	10.26	5.		0			0	0 0	T	18.71	T	20,00	90	37	92	98	y S	40	27.40	31	28.50	8 8	8 5	30,40	9	8 9	52	32.75	8	15	49	55	92	40,84	45.50	45.50	46,83	48.50	48,30	

Geb. 12.6 mit AVR-Behälterlager, FZ Jülich

ANLAGE B ERGEBNISDETAILS DES NACHWEISES NACH NCEER-WORKSHOP

G 138/13A



RKB 1

FIG. 5. CPT-Based Soil Behavior-Type Chart Proposed by Robertson (1990)

22

Geb. 12.6 mit AVR-Behälterlager, FZ Jülich 200 3.0 **** + + + + + + **** CPT-2B u. CPTU-2C, Factor of Safety (FS) 150 2.0 CPT Clean Sand Base Curve 100 CPT (q_{c1N})_{cs} + +++ Liquefaction 1.0 20 0.0 0.5 0.4 0.3 0.2 0.1 0.0 0 2 10 15 20 (m) əтэіт 25 30 35 40 45 20 CSR bzw. CRR_{6,9} 1500 - Effektive Spannung ohne Auflast - Totale Spannung ohne Auflast Verflüssigungsnachweis nach NCEER-Workshop Spannung aus Auflast 1000 - Porenwasserdruck Spannung (kPa) 200 0.5 Sondierung | CPT-2B, CPTU-2C 100 0 2 90.39 mNN P_a (kPa) = 0 10 15 40 45 20 20 25 30 35 n (0,5) 34.9 m Tiefe (m) 6. Sands - clean sand to silty sand 7. Gravelly send to dense sand 8. Very stiff sand to clayey sand* 9. Very stiff, fine grained* FIG. 5. CPT-Based Soil Behavior-Type Chart Proposed by Robertson (1990) max. Tiefe GOK $q_{\rm t}$ - $\sigma_{\rm vo}$ x 100% 5. Sund mixtures - silty sand to sandy silt
*Heavity overconsolidated or cemented (m u. GOK) 8.50 17.91 29.82 00.0 1.50 26.17 Normalized Friction Ratio, F= Organic soils - pears
 Clays - sity clay to clay
 A. Silt mixtures - clayey silt to silty clay 95.00 kN/m² $y (kN/m^3)$ 0.215 2.11 6.9 1. Sensitive, fine grained amax (m/s²) 001 01 000 Auflast Horizont a_{max} (g) 100 MIN 19a 15 15 4 13 Normalized Cone Resistance, Q G 138/13A

PKB CPT 25

RKB 2

- 90 -

G 138/13A

CPT Clean Sand Base Curve Liquefaction Zone		No Liquefaction Zone	50 100 150 200 CPT (d _{cIN} _{cs}	actor of Safety (FS)	2.5 3.0 cooq secas	
0.5 CPT Clean St Liquefaction 0.4 Zone	ОЯR 0.3	CSR or	* 0		(m) eheit	45
tweis nach NCEER-Workshop				oannung (kPa)	Totale Spannung ohne Auflast — Porenwasserdruck — Effektive Spannung ohne Auflast — Spannung aus Auflast	
Verflüssigungsnach Sondierung CPTU-3, CPTU-3A	GOK 90.26 mNN	$P_a(kPa) = 100$ $n(1)$ $n(0.5)$ $n(0.7)$ 0.7			$F = \frac{f_s}{q_s - Q_{sol}} \times 100\%$ 6. Sands - clean sand to sity sand 7. Gravelly sand of the cleans sand to sity sand 7. Gravelly sand of the cleans sand to sity sand 7. Gravelly sand to cleans sand to sity sand 8. Gravelly sand to cleans sand to sity sand 9. Gravelly sand to cleans sand to cleans sand	sand to craysy sand* fine grained* 45
M _W 6.9 a _{max} (g) 0.230 a _{max} (m/s ²) 2.26	Auliast 85.00 NVIII	ont y (kN/m³) (m u 19 c 21 c		× /× /× /× /× /× /× /× /× /× /× /× /× /×	× * * * * * * * * * * * * * * * * * * *	3. Ctays - sity ctay to ctay 4. Sit mixtures - ctayey sit to sity ctay 5. Sand mixtures - sity sond to sandy sit 7. How the sity stay of the sandy sit 8. Sand mixtures - Hencyle overconstituted or cemented 9. Hencyle overconstituted 9. Hencyle o

FIG. 5. CPT-Based Soil Behavior-Type Chart Proposed by Robertson (1990) *Heavity overconsolidated or cemented